高等量一一学

中物院研究生院/北京计算科学研究中心

Beijing Computational Science Research Center (CSRC)





第四章 他磁场中的带电粒子 大型

第4章: 电磁场中的带电粒子

- 4.1 电磁场与带电粒子相互作用
- 4.2 二维平面中的带电粒子: 朗道能级与量子霍尔效应
- 4.3 二能级原子与量子光场相互作用的基本模型
- 4.4 相对论带电粒子的量子力学与自旋
- 4.5 自旋与电磁场中的带电粒子
- 4.6 相对论电子的平面波解与中微子二分量理论
- *4.7 费米子二次量子化应用: 非理想电子气基态与超导的

BCS理论

本章学习要点:对称性与相互作用

1. 局域对称性如何决定相互作用形式 ----U(1)规范场理论与电磁场

2. 光与原子相互作用 ——J-C模型

3. 洛伦兹对称性(相对论协变性)如何决定微观粒子的基本属性?

4. 1电磁场与带电粒子相互作用

带电粒子在电磁场中运动满足洛伦兹力方程

$$m\frac{\mathrm{d}^2}{\mathrm{d}t^2}\vec{r} = q\left(\vec{E} + \frac{1}{c}\vec{v} \times \vec{B}\right)$$

$$\vec{E} = -\frac{1}{c}\frac{\partial \vec{A}}{\partial t} - \nabla \phi, \qquad \vec{B} = \nabla \times \vec{A}.$$
对 和 ϕ 作 规 范 变 换
$$\vec{A} \to \vec{A}' = \vec{A} + \nabla f(r,t)$$

$$\phi \to \phi' = \phi - \frac{1}{c}\frac{\partial}{\partial t}f(r,t),$$
若 场 强 保 持 不 变
$$\vec{E} \to \vec{E}' = \vec{E}, \qquad \vec{B} \to \vec{B}' = \vec{B}.$$

$$ec{E} = -rac{1}{c}rac{\partial A}{\partial t} -
abla \phi, \qquad ec{B} =
abla imes ec{A}.$$

$$\vec{A} \rightarrow \vec{A}' = \vec{A} + \nabla f(r, t)$$

$$\phi \to \phi' = \phi - \frac{1}{c} \frac{\partial}{\partial t} f(r, t),$$

$$\vec{E} \rightarrow \vec{E}' = \vec{E}, \qquad \vec{B} \rightarrow \vec{B}' = \vec{B}$$

那么在电磁势的定域规范变换下,场与带电粒子的运 动方程形式也不变。

4.1 电磁场与带电粒子相互作用

经典物理中的规范不变性分析推广到量子力学:

带电自由粒子的薛定谔方程

$$\mathrm{i}\hbar\frac{\partial\psi}{\partial t} = \frac{\hat{p}^2}{2m}\psi$$

作依赖时空点(x,t)的局域位相变换(定域U(1)规范变换)

$$\psi'(x,t) = \psi(x,t)e^{iqf(x,t)}$$

几率诠释要求粒子在时空中的概率密度不变

$$P_{\psi}(x,t) = |\psi(x,t)|^2 = |\psi'(x,t)|^2 = P_{\psi'}(x,t)$$

4.1 电磁场与带电粒子相互作用

f(x,t)依赖于时空点,保几率密度的变换改变运动方程:

$$\mathrm{i}\hbar\frac{\partial}{\partial t}\psi'(x,t) = -q\dot{f}(x,t)\psi'(x,t) + \frac{1}{2m}[\hat{p} - \hbar q\nabla f(x,t)]^2\psi'$$

为了使运动方程不变,将 \hat{p} 视为正则动量,并在薛定谔 $\hat{p} = -i\hbar \nabla \rightarrow \hat{p}' = \hat{p} - \frac{q}{c}\vec{A} = -i\hbar(\nabla - \frac{iq}{\hbar c}\vec{A})$ 方程中补充上申磁场:

$$\hat{p} = -i\hbar \nabla \rightarrow \hat{p}' = \hat{p} - \frac{q}{c}\vec{A} = -i\hbar (\nabla - \frac{iq}{\hbar c}\vec{A})$$

4.1 最小耦合原理

带电粒子的薛定谔方程变为

$$i\hbar \frac{\partial}{\partial t} \psi(x,t) = \left[-\frac{\hbar^2}{2m} \left(\nabla - \frac{iq}{\hbar c} \vec{A}(x,t) \right)^2 + q\phi(x,t) \right] \psi(x,t)$$

上述变换引入了电磁相互作用项,亦称最小耦合原理。

以下将证明:

规范变换和波函数局域位相变换的共同效果,使得薛定谔方程形式不变。

上述联合变换称为U(1)规范,即电磁场中的薛定谔方程具有U(1)定域规范不变性。

4.1 电磁相互作用U(1)规范不变性证明

取 $\hbar = c = 1$,经过定域规范变换

以作 =
$$c = 1$$
,经过定域规范变换

$$\vec{A} \to \vec{A}' = \vec{A} + \nabla f(x,t), \qquad \phi \to \phi' = \phi - \frac{\partial f(x,t)}{\partial t}$$

$$\psi \to \psi' = e^{iqf(x,t)}\psi$$

[2]
$$(\hat{p} - q\vec{A}')\psi' = [-i\hbar\nabla - q(\vec{A} + \nabla f)]e^{ifq}\psi = e^{iqf}(\vec{p} - q\vec{A})\psi$$

$$\Rightarrow (\hat{n} - q\vec{A}')^2\psi' = e^{iqf}(\vec{n} - q\vec{A})^2\psi$$

那么

$$(\hat{p} - q\vec{A}')\psi' = [-i\hbar\nabla - q(\vec{A} + \nabla f)]e^{ifq}\psi = e^{iqf}(\vec{p} - q\vec{A})\psi$$

$$\Rightarrow (\hat{p} - q\vec{A}')^2\psi' = e^{iqf}(\vec{p} - q\vec{A})^2\psi;$$

$$i\frac{\partial}{\partial t}\psi' - q\phi'\psi' = -q\frac{\partial f}{\partial t}e^{iqf}\psi + i\frac{\partial\psi}{\partial t}e^{iqf} - q\left(\phi - \frac{\partial f}{\partial t}\right)e^{iqf}\psi$$

$$= e^{iqf}\left(i\frac{\partial}{\partial t}\psi - q\phi\psi\right);$$

$$i\frac{\partial}{\partial t}\psi' - q\phi'\psi' = -q\frac{\partial f}{\partial t}e^{iqf}\psi + i\frac{\partial \psi}{\partial t}e^{iqf} - q\left(\phi - \frac{\partial f}{\partial t}\right)e^{iqf}\psi$$

$$=\mathrm{e}^{\mathrm{i}qf}\left(\mathrm{i}rac{\partial}{\partial t}\psi-q\phi\psi
ight)$$
 ;

4.1 电磁相互作用U(1)规范不变性证明

由此可以验证经过以上变换

$$i\frac{\partial}{\partial t}\psi = \left[\frac{1}{2m}(\hat{p} - q\vec{A})^2 + q\phi\right]\psi$$

$$\vec{A} \rightarrow \vec{A}' = \vec{A} + \nabla f$$

$$\phi \rightarrow \phi' = \phi - \partial f / \partial t$$

$$\psi \rightarrow \psi' = e^{iqf} \psi$$

$$i\frac{\partial}{\partial t}\psi' = \left[\frac{1}{2m}(\hat{p} - q\vec{A}')^2 + q\phi'\right]\psi'$$

因而薛定谔方程是规范不变的。

平面xy内运动的带电粒子(例如一个电子), 在垂直于

平面的磁场 $\vec{B} = (0,0,B)$ 作用下,做回旋运动。若不计

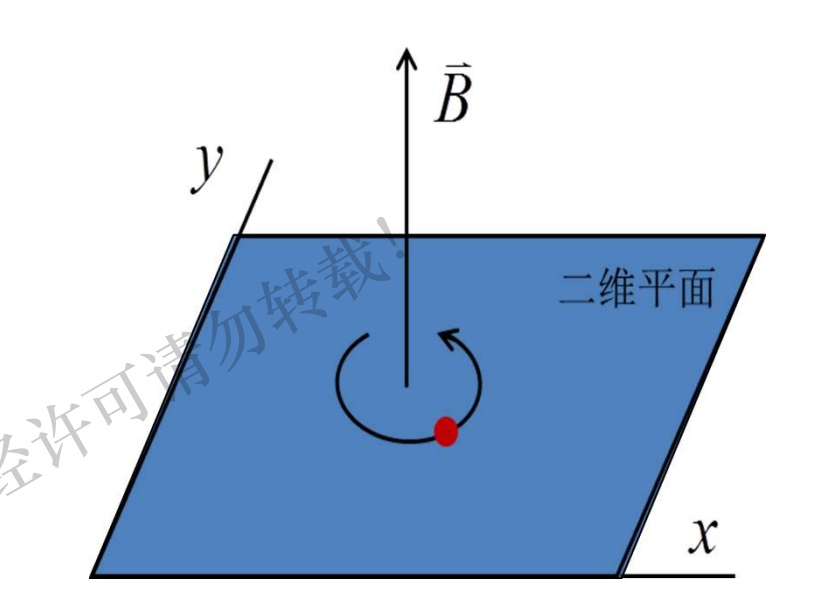
电子自旋,体系的哈密顿量为

$$H = \frac{1}{2m} \left(\vec{p} + \frac{e}{c} \vec{A} \right)^2$$

朗道规范下的电磁势

$$\vec{A} = (-By, 0, 0)$$

$$\Rightarrow \vec{B} = \nabla \times \vec{A} = \begin{vmatrix} i & j & k \\ \partial_x & \partial_y & \partial_z \\ -By & 0 & 0 \end{vmatrix} = \vec{k}B$$



$$H = \frac{1}{2M} \left(p_x - \frac{eB}{c} y \right)^2 + \frac{p_y^2}{2m}$$

$$[p_x,H] = 0 \Rightarrow p_x$$
是守恒量
$$p_x$$
和 H 的共同本征函数设为

E函数设为
$$\psi(x,y) = e^{\frac{ipx}{\hbar}} \psi(y)$$

 $\psi(y)$ 满足y方向上谐振子势的本征方程

$$H_{y}\psi(y) = \left[\frac{p_{y}^{2}}{2m} + \frac{1}{2m}\left(\frac{eB}{c}y - p\right)^{2}\right]\psi(y) = E\psi(y)$$

$$H_{y} = \frac{p_{y}^{2}}{2m} + \frac{1}{2m} \left(\frac{eB}{c}y - p\right)^{2} = \frac{p_{y}^{2}}{2m} + \frac{1}{2}m\omega_{y}^{2} \left(y - \frac{cp}{eB}\right)^{2}$$

谐振子中心在 $y_0 = cp/eB$,Larmor回旋频率 $\omega_y = eB/mc$ 。中心的位置由电子沿x方向运动的动量决定。由此可见,磁场 \vec{B} 变强时,回旋中心更接近于坐标原点,而且回旋的速度越来越快。

朗道能级

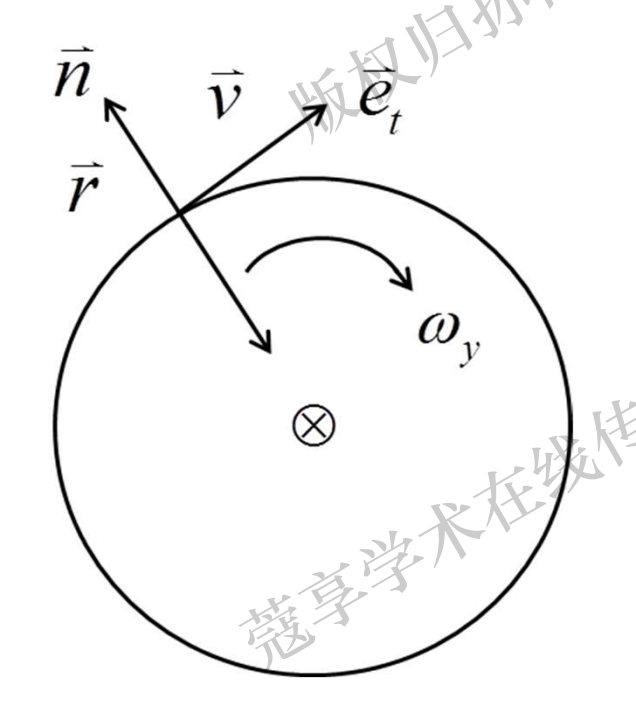
$$E_n = (n + 1/2)\hbar\omega_n$$

$$\psi_{np}(x, y) = e^{ipx/\hbar}\Phi_n(y)$$

给定量子数n,能级高度简并:所有p有相同能量

$$E_n(p) = (n + 1/2)\hbar\omega_y$$

 $\omega_{v} = e^{B}/mc$ 是经典带电粒子在磁场 \vec{B} 中的角频率



电子在平面电磁场中做回旋运动:

洛伦兹方程
$$\frac{d\vec{p}}{dt} = \frac{e}{c}\vec{v} \times \vec{B}$$

粒子加速度
$$\frac{d\vec{v}}{dt} = \frac{eB}{cm}v\bar{r}$$

4.2二维平面中带电粒子运动:对称规范

对称规范下的电磁势

を下的电磁势
$$\vec{A} = \left(-\frac{1}{2}By, \frac{1}{2}Bx, 0\right)$$

$$\Rightarrow \vec{B} = \nabla \times \vec{A} = \begin{vmatrix} i & j & k \\ \partial_x & \partial_y & \partial_z \\ -\frac{1}{2}By & \frac{1}{2}Bx & 0 \end{vmatrix} = \vec{k}B$$
量描述 $x - y$ 方向相互耦合的谐振子

哈密顿量描述x-y方向相互耦合的谐振子

$$H = \frac{1}{2m} \left(p_x - \frac{eB}{2c} y \right)^2 + \frac{1}{2m} \left(p_y + \frac{eB}{2c} x \right)^2$$

4.2二维平面中带电粒子运动:对称规范

无量纲化的哈密顿量

无量纲化的哈密顿量
$$H = \frac{1}{2} \left(-\mathrm{i} \partial_x - \frac{1}{2} y \right)^2 + \frac{1}{2} \left(-\mathrm{i} \partial_y + \frac{1}{2} x \right)^2$$
 引入复变量
$$z = x + \mathrm{i} y, \qquad \bar{z} = x - \mathrm{i} y$$
 相应的微分
$$\partial_z = \frac{1}{2} \left(\partial_x - \mathrm{i} \partial_y \right), \partial_{\bar{z}} = \frac{1}{2} \left(\partial_x + \mathrm{i} \partial_y \right)$$
 有基本对易关系
$$[z, \partial_z] = [\bar{z}, \partial_{\bar{z}}] = -1, \qquad [\bar{z}, \partial_z] = [z, \partial_{\bar{z}}] = 0$$

$$z = x + iy$$
, $\bar{z} = x - iy$

$$\partial_z = \frac{1}{2} (\partial_x - i\partial_y), \partial_{\bar{z}} = \frac{1}{2} (\partial_x + i\partial_y)$$

$$[z,\partial_z]=[\bar{z},\partial_{\bar{z}}]=-1, \qquad [\bar{z},\partial_z]=[z,\partial_{\bar{z}}]=0$$

习题

$$H = \frac{1}{2m} \left(p_x - \frac{eB}{2c} y \right)^2 + \frac{1}{2m} \left(p_y + \frac{eB}{2c} x \right)^2$$

在不用上述变换时,直接求解耦合谐振了 $H = \frac{1}{2m} \left(p_x - \frac{eB}{2c} y \right)^2 + \frac{1}{2m} \left(p_y + \frac{eB}{2c} x \right)^2$ 并分析磁场B很大时,系统能谱结构变化。

4.2二维平面中带电粒子运动:对称规范

定义产生消灭算子

$$a = \sqrt{2} \left(\partial_z + \frac{1}{4} \bar{z} \right)$$

主消灭算子
$$a = \sqrt{2} \left(\partial_z + \frac{1}{4} \bar{z} \right)$$

$$a^{\dagger} = \sqrt{2} \left(-\partial_{\bar{z}} + \frac{1}{4} z \right)$$

$$f = 1, B$$

$$H = -2\partial_z \partial_{\bar{z}} + \frac{1}{8} z \bar{z} + \frac{1}{2} z \partial_z - \frac{1}{2} \bar{z} \partial_{\bar{z}} = a^{\dagger} a + \frac{1}{2}$$

 $\mathbb{N}[a,a^{+}]=1,\mathbb{H}$

$$H = -2\partial_z\partial_{\bar{z}} + \frac{1}{8}z\bar{z} + \frac{1}{2}z\partial_z - \frac{1}{2}\bar{z}\partial_{\bar{z}} = a^{\dagger}a + \frac{1}{2}z\partial_z - \frac{1}$$

4.2二维平面中带电粒子运动:对称规范

$$\psi_{Nm} = \frac{1}{\sqrt{2}} a^{\dagger N} \psi_{0m}$$

本征函数可构造如下
$$\psi_{Nm} = \frac{1}{\sqrt{2}} a^{\dagger N} \psi_{0m}$$

$$\psi_{0m} = c_m \bar{z}^m e^{-\frac{1}{4} z \bar{z}} = c_m (x - \mathrm{i} y)^m e^{-\frac{1}{4} (x^2 + y^2)}, \qquad m = 0,1,2 \dots$$
 其中
$$\psi_{00} = e^{-\frac{1}{4} z \bar{z}} = e^{-\frac{1}{4} (x^2 + y^2)}$$

$$\psi_{0m} = 0$$

$$a\psi_{0m} = 0$$

$$\psi_{00} = e^{-\frac{1}{4}z\bar{z}} = e^{-\frac{1}{4}(x^2+y^2)}$$

$$a\psi_{0m}=0$$

证明:

E明:
$$ae^{-\frac{1}{4}z\bar{z}} = \sqrt{2}\left(\partial_z - \frac{1}{4}\bar{z}\right)e^{-\frac{1}{4}z\bar{z}} = 0$$

$$[a,\bar{z}] = \sqrt{2}\left[\partial_z - \frac{1}{4}\bar{z},\bar{z}\right] = 0$$
 则对任意 m ,
$$[a,\bar{z}^m] = 0$$
 因而
$$a\psi_{0m} = 0$$
 从而有简并的本征态

$$[a,\bar{z}] = \sqrt{2} \left[\partial_z - \frac{1}{4}\bar{z},\bar{z} \right] = 0$$

$$[a, \bar{z}^m] = 0$$

$$a\psi_{0m} = 0$$

$$\psi_{Nm} = \frac{1}{\sqrt{2}} a^{\dagger N} \psi_{0m}$$

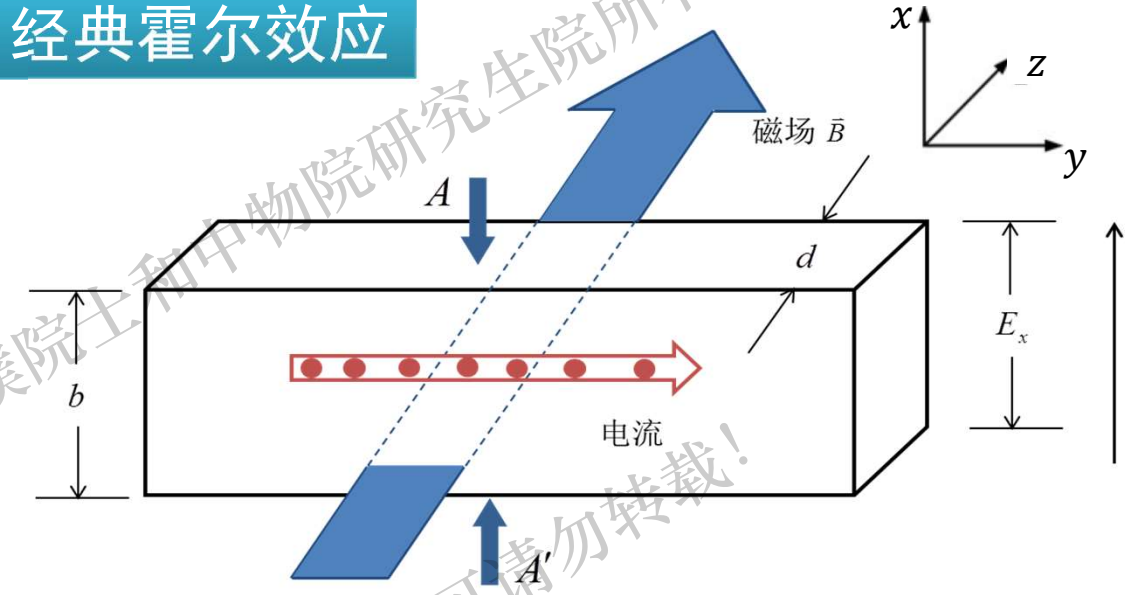
(整数)量子霍尔效应(quantum Hall effect)

运动电子在x方向上受力为

$$F_{x} = -eE_{x} + \frac{vB}{c}$$

达到平衡时

$$F_{x}=0$$
, $E_{x}=\frac{vB}{c}$



霍尔效应示意图

A和A'间的电压正比于磁场大小。

$$U_{AA'} = E_x b = \frac{bvB}{c}$$

经典霍尔效应

设载流子(电子)的浓度为 ρ ,则y方向的电流为

$$I = ebd
ho v$$

x方向的电压

$$U_{AA'} = \frac{1}{c\rho e} \frac{IB}{d} = R_H I$$

定义

$$R_H = \frac{B}{c\rho de} = \frac{B}{c\bar{n}e}$$

为霍尔电阻, $\bar{n} = \rho d$ 为载流子浓度

经典霍尔效应

霍尔电导定义为

$$\sigma_H=rac{1}{R_H}=rac{car{n}e}{B}=rac{\gamma e^2}{h},$$
 $\gamma=rac{ar{n}}{n_b}=2\piar{n}l_B^2, \qquad l_B=\sqrt{rac{\hbar c}{eB}}$ 是磁长度

考虑沿x方向电流,有霍尔电导张量

$$\sigma = \begin{pmatrix} 0 & -\gamma \frac{e^2}{h} \\ \gamma \frac{e^2}{h} & 0 \end{pmatrix}$$

(整数)量子霍尔效应(quantum Hall effect)

量子霍尔效应:

Klaus von Klitzing等人发现, γ只取正整数。

对于矩形样品 $0 \le x \le L, 0 \le y \le b$, 证明每一个朗道能级只 包含有限个电子。

假设周期边界条件 $\psi(x+L,y)=\psi(x,y)$,那么x方向动量

$$p_x = 2\pi\hbar n/L$$

本征态在y方向上是量子化的,且中心 是量子化的;

$$y_0 = \frac{cp}{eB}$$

量子霍尔效应(quantum Hall effect)

$$\frac{cp}{eB} = n \frac{2\pi\hbar c}{eBL} \in [0, b]$$

$$\Rightarrow n=0,1,2...,N_m, \qquad N_m=rac{Lb}{2\pi l_B^2}, \qquad l_B=\sqrt{rac{\hbar c}{eB}}$$
 Lb 是样品的面积,因此,单位面积内态的数目为

$$n_B = \frac{1}{2\pi l_B^2} = \frac{eB}{hc}$$

它可以理解为单位面积上朗道能级的简并度,不 依赖于是哪一个朗道能级;即

 n_B 和朗道能级的量子数n无关。

量子霍尔效应(quantum Hall effect)

假定到第*s*个能级为止,每一个朗道能级都被填满,则样品的单位面积内电子数

$$N_{S} = sn_{B} = \frac{eBs}{hc}$$

如果在x-y平面内加一个电场 \vec{E} 和垂直于平面的磁场 \vec{B} ,

平衡情况下

$$e\vec{E} + \frac{e}{c}\vec{v} \times \vec{B} = 0$$

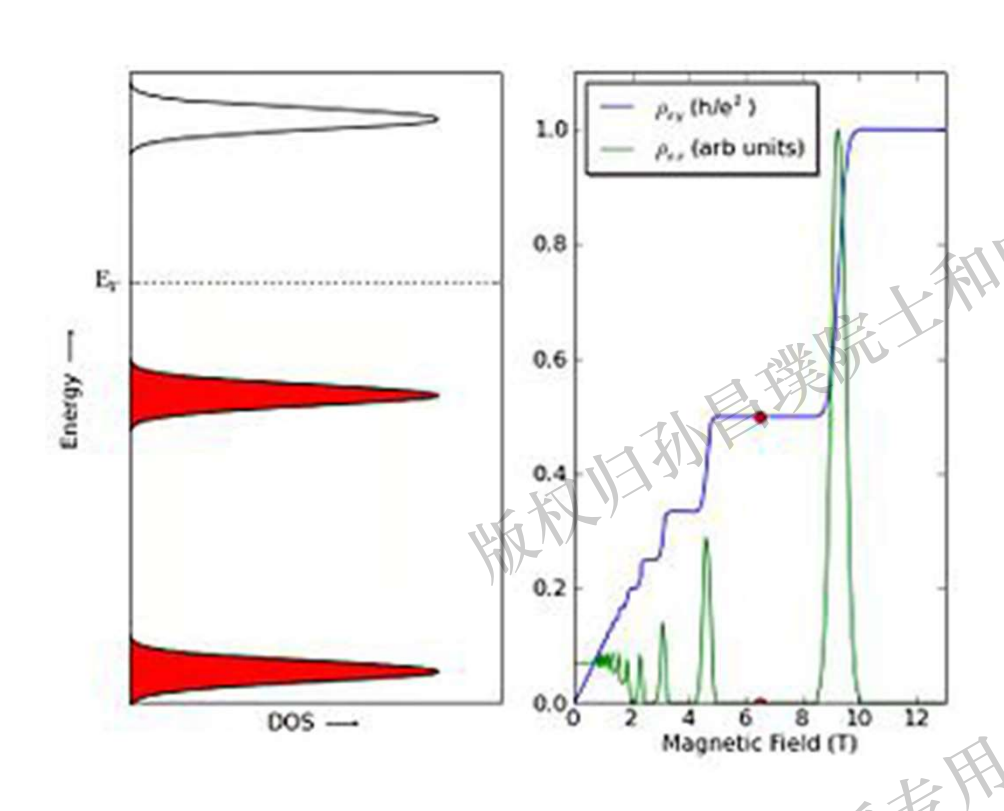
$$\Rightarrow \vec{v} = c\vec{E} \times \vec{B}/B^2$$

电流矢量

$$\vec{J} = esn_B v = \begin{pmatrix} 0 & -se^2/h \\ se^2/h & 0 \end{pmatrix} \vec{E}$$

这意味着霍尔电导是量子化的。

量子霍尔效应(quantum Hall effect)



杂质和霍尔台阶的出现

以上分析,只是说明了霍尔电导 是整数的,但并未解释随磁场改 变为什么会出现台阶, 要解释这 种台阶,需要考虑弱杂质的作用。 杂质势的微扰作用是产生展宽朗 道的能级,而另一个作用产生不 参与导电的局域态。这两种作用 共同的效应导致了平台的出现, 在有关的文献中详细分析了这个 结果。

4.3 二能级原子与量子光场相互作用的基本模型

在电磁场中运动的带电粒子哈密顿量

$$H = \frac{1}{2m} (\hat{p} - q\vec{A})^2 + q\phi$$

$$= \frac{\hat{p}^2}{2m} + q\phi - \frac{q}{2m} (\hat{p} \cdot \vec{A} + \vec{A} \cdot \hat{p}) + \frac{q^2}{2m} \vec{A}^2$$
由
$$\hat{p} \cdot \vec{A} + \vec{A} \cdot \hat{p} = \frac{\hbar}{i} [(\nabla \cdot \vec{A}) + 2\vec{A} \cdot \nabla]$$

在库伦规范下 $\nabla \cdot \vec{A} = 0$,并忽略小量 $\frac{q^2}{2m} \vec{A}^2$,则有

$$\hat{p} \cdot \vec{A} + \vec{A} \cdot \hat{p} = \frac{\hbar}{i} [(\nabla \cdot \vec{A}) + 2\vec{A} \cdot \nabla]$$

低能近似下的哈密顿量

$$H = \frac{\hat{p}^2}{2m} + q\phi - \frac{q}{m}(\vec{A} \cdot \hat{p})$$

4.3 原子一光场相互作用形式

在电磁场的能量表象中,实场 $\vec{A}_R = \vec{A} + \vec{A}^{\dagger}$ 可以量子化为

$$ec{A}_R = \sum_l ig(a_l ec{A}_l(x) + ext{h.c.} ig)$$
 $ec{A}_l$ 为电磁场的本征振动模式 $a_l^\dagger(a_l)$ 是模式 $ec{A}_l$ 的产生(消灭)算子 $\varphi(x) = \sum_{lpha} arphi_lpha(x) b_lpha$

用

$$\varphi(x) = \sum_{\alpha} \varphi_{\alpha}(x) b_{\alpha}$$

代表带电粒子的场, 那么电磁场与粒子相互作用哈密顿量

$$H' = -\frac{q}{m}\vec{A} \cdot \vec{p}$$

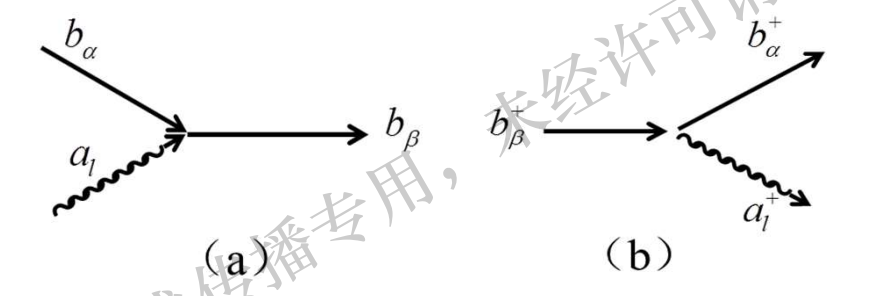
可以写为二次量子化形式:

4.3 原子一光场相互作用的费曼图

$$H' = -\frac{q}{m} \sum_{\alpha\beta l} \left[\int \varphi_{\beta}^{\dagger}(x) \vec{A}_{l}(x) \hat{p} \varphi_{\alpha}(x) dx b_{\beta}^{\dagger} a_{l} b_{\alpha} + \text{h.c.} \right]$$

即

則
$$H' = \sum_{\alpha\beta l} \left[g_{\alpha\beta l} b_{\beta}^{\dagger} b_{\alpha} a_{l} + g_{\alpha\beta l}^{*} b_{\alpha}^{\dagger} b_{\beta} a_{l}^{\dagger} \right]$$
 费曼图形式



代表了处在α状态上带电粒子吸收一 其中第一项对应图(a), 个l模光子变成状态 β ,图(b)代表它的共轭过程。

4.3 原子一光场相互作用导致自发辐射

微扰论下,H' 一级扰动引起的 $|n_l,I_{\beta}\rangle$ 到态 $|n_l+1,I_{\alpha}\rangle$ 的跃迁为

$$\langle n_l + 1, I_{\alpha} | H' | n_l, I_{\beta} \rangle = g_{\alpha\beta l}^* \sqrt{n_l + 1}$$

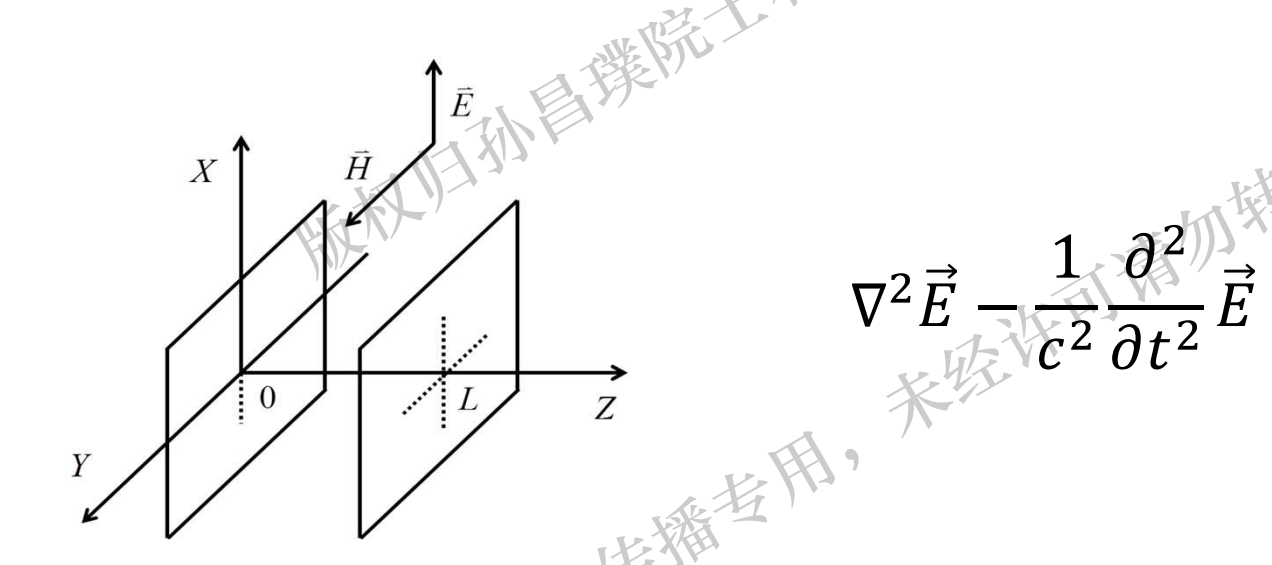
 $\langle n_l+1,I_\alpha|H'|n_l,I_\beta\rangle=g_{\alpha\beta l}^*\sqrt{n_l+1}$ 特别是当 $n_l=0$,跃迁矩阵元不为零,这代表自发辐射(跃迁)

接下来讨论单模光场与单个二能级原子的相互作用。

4.3 一维腔中电场的量子化

一维法布里-泊罗(FP)微腔中电磁场的量子化问题:

FP腔中的电磁场满足Maxwell波动方程



由两无穷大超导平板构成的一维微共振腔(FP腔)

4.3 微波腔电磁场的量子化

镜面是理想导体,电场 $\vec{E}=E_x(z,t)\vec{e}_x$ 只有x分量,在z=0和 z=L处, $E_x(0)=E_x(L)=0$ 。

经典电磁场的本征解:

$$E_{x}=q_{n}(t)\sin{\frac{n\pi z}{L}}$$
子运动方程

其中 $q_n(t)$ 满足谐振子运动方程

$$\ddot{q}_n(t) + \frac{n^2 \pi^2 c^2}{L^2} q_n(t) = 0$$

4.3 量子电磁场哈密顿量

$$abla imes \vec{H} = \frac{\partial \vec{D}}{\partial t}, \vec{D} = \epsilon_0 \vec{E},$$

$$\vec{H} = H_y(z, t) \vec{e}_y$$

因此磁场

$$\vec{H} = H_{y}(z, t) \vec{e}_{y}$$

只有y分量

$$H_{y}(z,t) = \frac{\epsilon_{0}L}{n\pi} \cos \frac{n\pi z}{L} \dot{q}_{n}(t)$$

FP腔中电磁场的哈密顿量为

$$H = \frac{1}{2} \int_0^L S dz \left[\epsilon_0 E_x^2 + \mu_0 H_y^2 \right] = \frac{1}{2} \left(\frac{\mu_0 \epsilon_0^2}{2k_n} V \right)^2 \left[\dot{q}_n^2(t) + \omega_l^2 q_n^2(t) \right]$$

$$\epsilon_0$$
——真空介电常数 μ_0 ——真空磁导率 $V=SL$ ——微腔体积 $k_n=n\pi/L$ ——驻波波矢 $\omega_n=Ck_n$ ——驻波频率

4.3 微腔中电磁场量子化

电磁场的产生消灭算子定义为

$$a_n = \frac{1}{\sqrt{2\hbar\omega_n}} \left[\omega_n q_n + ip_n\right] \times \sqrt{\frac{\mu_0 \varepsilon_0}{2k_l^2}} V$$

单模哈密顿量

$$H_n = \hbar \omega_n \left(a_n^{\dagger} a_n + \frac{1}{2} \right)$$

相应的对易关系

$$\left[a_n, a_m^{\dagger}\right] = \delta_{mn}$$

电磁场的量子化为

$$E_n(z,t) = \bar{\xi}_n (a_n + a_n^{\dagger}) \sin \frac{n\pi z}{L}$$

$$\xi_n = \sqrt{\hbar \omega_n / (V \varepsilon_0)}$$

是单位体积的场振幅。

4.3 二能级原子与量子光场相互作用的基本模型

以单电子中性原子为例考虑原子部分及其与光场的相互作用。

原子核质量=M, 坐标=R,

电子质量=m, 电荷 e, 坐标=r,

电子质量=
$$m$$
, 电荷= e , 坐标= r , 原子在电磁势中的哈密顿量
$$H_a = \frac{1}{2M} [p_R - A(R)]^2 + \frac{1}{2m} [p_r + A(r)]^2 + V(|R - r|)$$
引入相对坐标和质心坐标
$$MR + mr$$

$$x = R - r, \ Q = \frac{MR + mr}{M + m}$$

原子核质量很大
$$m/M \to 0$$
,则
$$H_a \cong \frac{p^2}{2M} + \frac{p_x^2}{2m} + V(x) - \frac{\overrightarrow{p}_x \cdot \overrightarrow{A}(Q)}{m}$$
 固定 Q 解快变部分的本征方程
$$H_0 = \frac{p_x^2}{2m} + V(x)$$

$$H_0 = \frac{p_x^2}{2m} + V(x)$$

$$H_0|n\rangle = E_n|n\rangle$$

4.3 二能级原子与量子光场相互作用的基本模型

设 $E_n = \hbar \omega_n$, $x = H_0$ 的对易子为

$$\frac{1}{\mathrm{i}\hbar}[x, H_0] = \frac{p_x}{m}$$

计算矩阵元

$$\langle m|p_x|n\rangle = \frac{m}{\mathrm{i}\hbar}(E_n - E_m)\langle m|x|n\rangle$$

计算矩阵元
$$\langle m|p_x|n\rangle = \frac{m}{\mathrm{i}\hbar}(E_n - E_m)\langle m|x|n\rangle$$
 哈密顿量可以写为
$$H \cong \frac{p^2}{2M} + \hbar \sum \omega_n |n\rangle\langle n| + \mathrm{i}A \cdot \sum (\omega_n - \omega_m) \langle m|x|n\rangle|m\rangle\langle n|$$

4.3 二能级原子与量子光场相互作用的基本模型

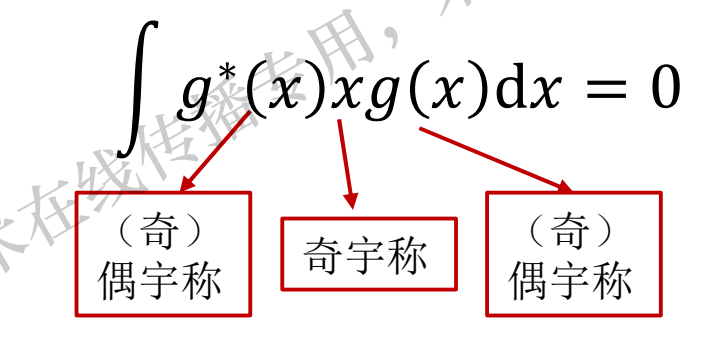
假设单模电磁场只与其中的两个能级 $|e\rangle$ 和 $|g\rangle$ 共振,

考虑二能级近似

能级近似
$$H = \frac{p^2}{2M} + \hbar \omega_e |e\rangle\langle e| + i\omega_e A \cdot D(|e\rangle\langle g| - |g\rangle\langle e|)$$

由于电偶极跃迁的选择定则,

$$\langle g|x|g\rangle = 0, \qquad D = \langle e|x|g\rangle$$



4.3 单原子与单模光场相互作用

由电磁场量子化

$$E_x = \dot{A}_x$$
, $H_y = \mu_0 \partial_z A_x$, $A_x = \alpha(Q)a^{\dagger} + \alpha^*(Q)a$

单原子+单模电磁场哈密顿量:

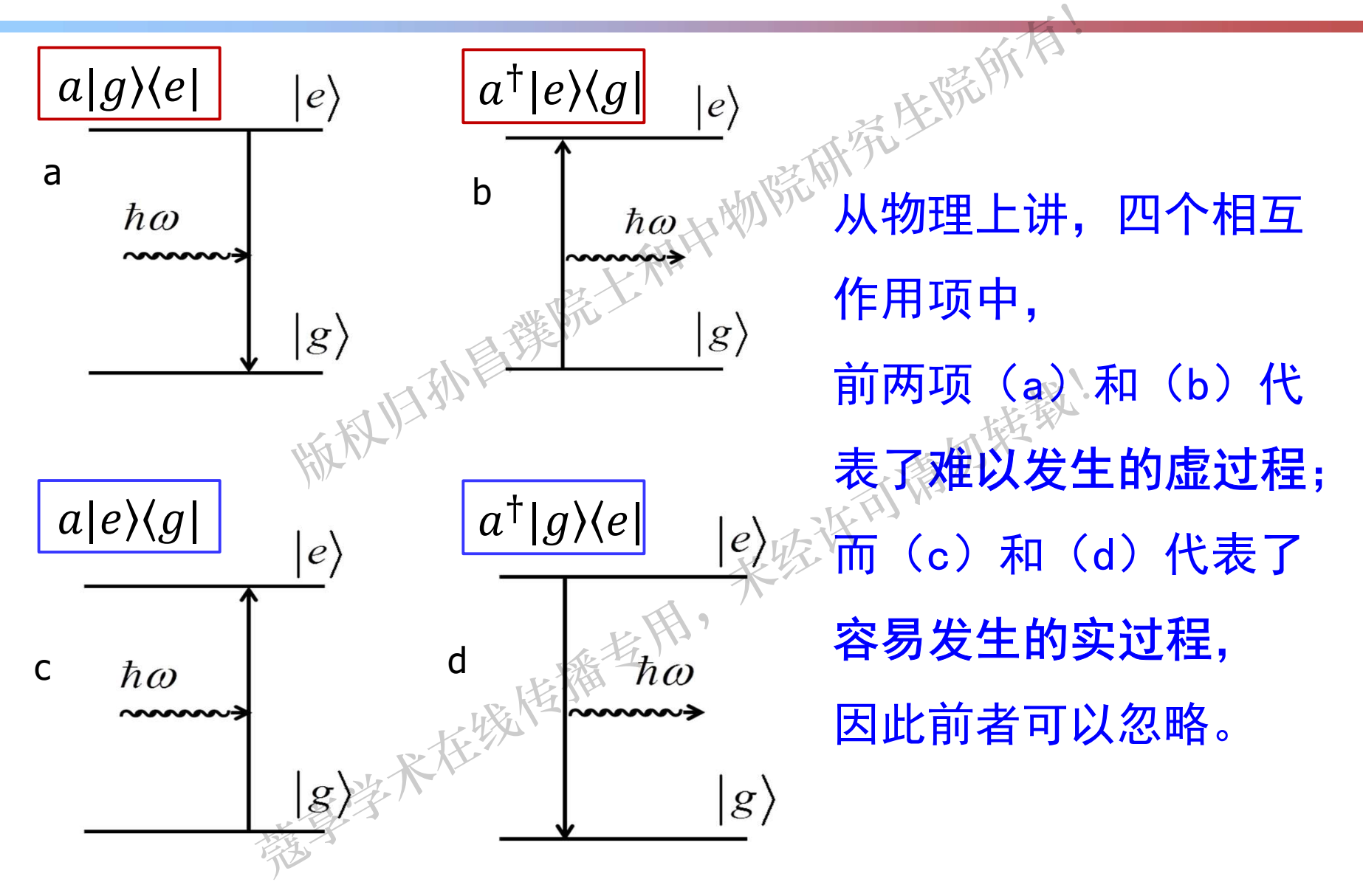
$$H = \frac{p^2}{2M} + \omega_e |e\rangle\langle e| + \omega a^{\dagger} a + g(a + a^{\dagger})(|e\rangle\langle g| - |g\rangle\langle e|)$$

$$g = \omega_e D \sqrt{\frac{\hbar}{\omega \epsilon_0 V}} \sin kQ$$

FP腔的体积越小,光与原子的耦合就越强。因因此

只有在体积很小的微腔中单模电磁场才有可观测效应。

4.3 原子与光场相互作用的过程



4.3 旋转波近似: JC模型

变换到相互作用表象,利用零阶哈密顿量

$$H_0 = \hbar \omega_e |e\rangle\langle e| + \hbar \omega a^{\dagger} a$$

相互作用项变为 | e |

上作用项变为
$$|e\rangle\langle g|a\to|e\rangle\langle g|ae^{-\mathrm{i}(\omega-\omega_e)t} \quad (低频项) \\ |g\rangle\langle e|a\to|g\rangle\langle e|ae^{-\mathrm{i}(\omega+\omega_e)t} \quad (高频可忽略) \\ \int_0^\infty \mathrm{e}^{\mathrm{i}\omega t}\,f(t)\mathrm{d}t \underset{\omega\to\infty}{\longrightarrow} 0$$

利用

$$\int_0^\infty e^{i\omega t} f(t) dt \xrightarrow{\omega \to \infty} 0$$

4.3 旋转波近似: JC模型

$$i\hbar \frac{\partial}{\partial t} |\varphi\rangle = (H_0 + Ve^{i\omega t} + h.c.)|\varphi\rangle$$

的形式解为

形式解为
$$i\hbar(|\varphi(t)-\varphi(0)\rangle) = H_0|\varphi\rangle + \int_0^t (Ve^{i\omega t} + h.c.)|\varphi\rangle dt$$

最后一项近似为零。因此,哈密顿量中的高频项可以忽略 不计。

忽略高频项的近似称为旋转波近似,

⇒精确可解光与原子相互作用的J-C模型:

$$H_{JC} = \omega_e |e\rangle\langle e| + \omega a^{\dagger} a + g a^{\dagger} |g\rangle\langle e| + \text{h.c.}$$

4.3 JC模型的解

$$|n,e\rangle = |n\rangle \otimes |e\rangle$$

$$|n,g\rangle = |n\rangle \otimes |g\rangle$$

其中

$$|n,e
angle = |n
angle \otimes |e
angle$$
 $|n,g
angle = |n
angle \otimes |g
angle$
 $|n
angle = \frac{1}{\sqrt{n!}}a^{+n}|0
angle$
 $|n
angle = \frac{1}{\sqrt{n!}a^{+n}}a^{+n}|0
a$

是光场的Fock态.

在HIC作用下有变换

$$H_{IC}|n,e\rangle = (\omega_e + n\omega)|n,e\rangle + g\sqrt{n+1}|n+1,g\rangle$$

$$H_{IC}|n+1,g\rangle=(n+1)\omega|n+1,g\rangle+g\sqrt{n+1}|n,e\rangle$$

4.3 JC模型的解

对于给定的 $n \neq 0$, $\{|n,e\rangle, |n+1,g\rangle\}$ 张成二维不变子空间。

$$H_{JC} = \begin{bmatrix} \omega_e + n\omega & \sqrt{n+1}g \\ \sqrt{n+1}g & (n+1)\omega \end{bmatrix}$$

$$\delta = \omega_e - \omega$$

$$\sin \theta_n = \frac{\sqrt{n+1}g}{\sqrt{\frac{\delta^2}{4} + (n+1)g^2}}$$

$$H_{JC} = \begin{bmatrix} \omega_e + n\omega & \sqrt{n+1}g \\ \sqrt{n+1}g & (n+1)\omega \end{bmatrix}$$

$$= \begin{bmatrix} \left(n + \frac{1}{2}\right)\omega + \frac{\omega_e}{2} \end{bmatrix} \begin{bmatrix} 1 & 0 \\ 0 & 1 \end{bmatrix} + \begin{bmatrix} \frac{\omega_e - \omega}{2} & \sqrt{n+1}g \\ \frac{\sqrt{n+1}g}{2} & \frac{\omega_e - \omega}{2} \end{bmatrix}$$

$$= \left[\left(n + \frac{1}{2}\right)\omega + \frac{\omega_e}{2} \right] I + \sqrt{\frac{1}{4}\delta^2 + (n+1)g^2} \begin{bmatrix} \cos\theta_n & \sin\theta_n \\ \sin\theta_n & -\cos\theta_n \end{bmatrix}$$

$$= \left[\left(n + \frac{1}{2} \right) \omega + \frac{\omega_e}{2} \right] I + \sqrt{\frac{1}{4} \delta^2 + (n+1) g^2} \begin{bmatrix} \cos \theta_n & \sin \theta_n \\ \sin \theta_n & -\cos \theta_n \end{bmatrix}$$

4.3 JC模型的解

对角化得到 H_{IC} 的本征值

$$E_n^{\pm} = n\omega + \epsilon_0 \pm \sqrt{\frac{\delta^2}{4} + (n+1)g^2}$$

其中

$$\epsilon_0 = \frac{1}{2}(\omega_e + \omega), \qquad n = 0,1,2,...$$

相应本征函数为

函数为
$$|+,n\rangle = \cos\frac{\theta_n}{2}|e,n\rangle + \sin\frac{\theta_n}{2}|g,n+1\rangle$$

$$|-,n\rangle = \sin\frac{\theta_n}{2}|e,n\rangle - \cos\frac{\theta_n}{2}|g,n+1\rangle$$

共振时

$$E_n^{\pm} = n\omega + \epsilon_0 \pm g\sqrt{n+1}$$

4.3单原子与单模光场相互作用的能级结构

 $|0,g\rangle$ 是 H_{JC} 本征态,本征值为0, $E_0^I=\epsilon_0\pm g$

能级差正比于场与原子的耦合强度,称为真空Rabi分裂。

$$\Delta E = E_0^+ - E_0^- = 2g$$

$$|1,e\rangle$$

$$|2,g\rangle$$

$$|1,e\rangle$$

$$|1,e\rangle$$

$$|1,e\rangle$$

$$|1,g\rangle$$

$$|1,g\rangle$$

$$|0,e\rangle$$

$$|1,g\rangle$$

$$|0,e\rangle$$

$$|0,e\rangle$$

$$|0,e\rangle$$

$$|0,e\rangle$$

$$|0,e\rangle$$

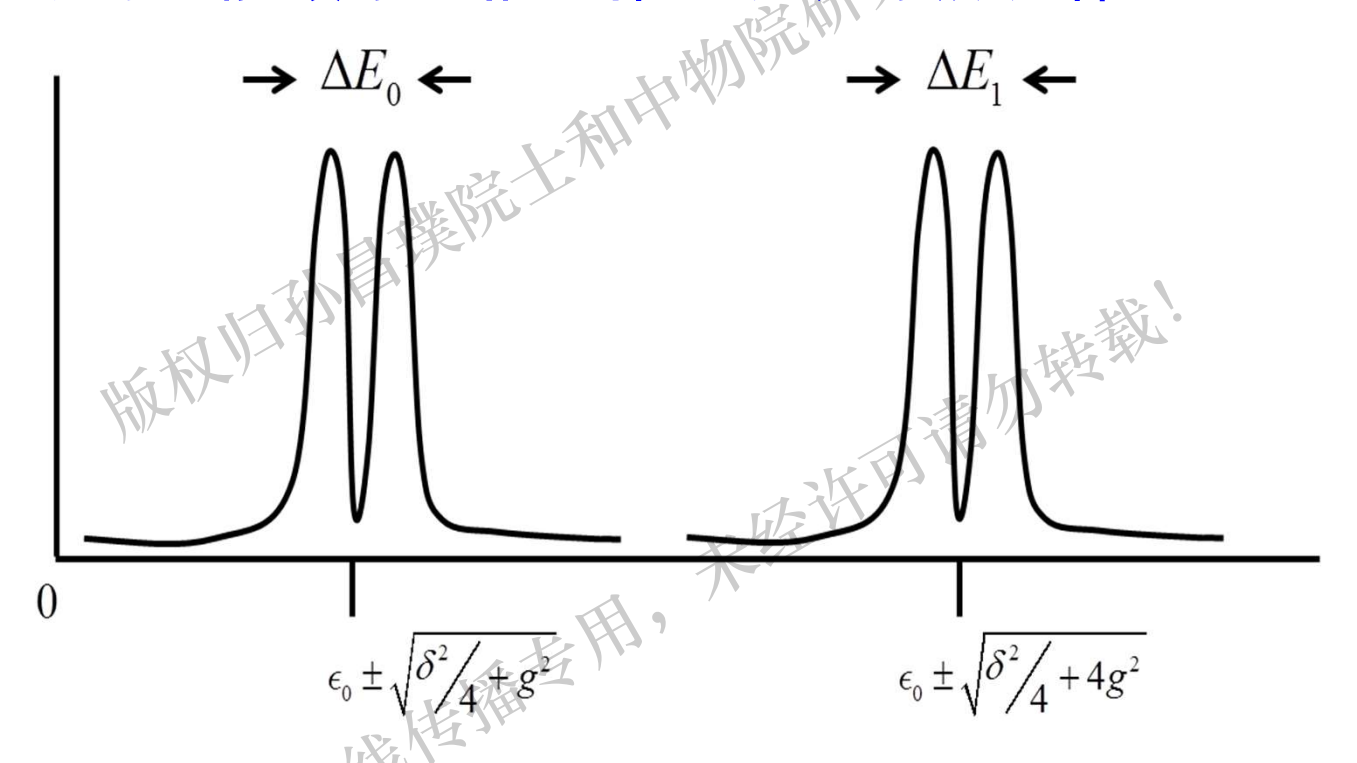
$$|0,e\rangle$$

$$|0,e\rangle$$

$$|0,e\rangle$$

4.3 二能级原子与光场相互作用导致Rabi劈裂

单模光场与二能级原子相互作用系统的吸收谱:



双峰结构的存在预示着光场的量子效应,特别是n=0时,真空场仍然会导致Rabi分裂。

J-C模型:对原子部分的二次量子化⇒多体哈密顿量

$$H = \omega_e b_e^{\dagger} b_e + \omega a^{\dagger} a + g b_e b_g^{\dagger} a^{\dagger} + g^* a b_e^{\dagger} b_g$$

当原子系统发生凝聚, 大量粒子处于基态, 求解薛定谔方程, 初值条件为

$$|\psi(0)\rangle = |\alpha\rangle \quad (b_g|\alpha\rangle = \alpha|\alpha\rangle)$$

由于大量粒子聚集在 $|g\rangle$ 态,粒子数平均值

$$\langle \alpha | b_g^+ b_g^- | \alpha \rangle = |\alpha|^2$$

是一个很大的量。

对薛定谔方程和初值条件做幺正变换

$$H \to H' = D^{\dagger}(\alpha)HD(\alpha), \qquad |\psi(0)\rangle \to |\psi'(0)\rangle = D(-\alpha)|\alpha\rangle = |0\rangle$$

其中相干态

则

$$D(\alpha) = \exp(\alpha b_g^{\dagger} - a^* b_g)$$

$$D(\alpha) = \exp(\alpha b_g^{\dagger} - a^* b_g)$$

$$H' = \omega_e b_e^{\dagger} b_e + g \alpha b_e^{\dagger} a + g^* \alpha^* b_e a^{\dagger} + \omega a^{\dagger} a + g b_e^{\dagger} b_g a + \text{h.c.}$$

由于 $|\alpha|$ 很大,在凝聚条件下,可以忽略量子涨落项

$$gb_e^\dagger b_g a + ext{h. c.}$$

$$H' \approx H_{\text{eff}} = \omega_e b_e^{\dagger} b_e + g \alpha b_e^{\dagger} a + g^* \alpha^* b_e a^{\dagger} + \omega a^{\dagger} a$$

对角化上述哈密顿量

$$H_{\mathrm{eff}} = \left(b_e^\dagger, a^\dagger\right) \begin{pmatrix} \omega_e & g \alpha \\ g^* \alpha^* & \omega \end{pmatrix} \begin{pmatrix} b_e \\ a \end{pmatrix}$$

对角化上述哈密顿量
$$H_{\text{eff}} = \begin{pmatrix} b_e^{\dagger}, a^{\dagger} \end{pmatrix} \begin{pmatrix} \omega_e & g\alpha \\ g^*\alpha^* & \omega \end{pmatrix} \begin{pmatrix} b_e \\ a \end{pmatrix}$$

$$= \begin{pmatrix} b_e^{\dagger}, a^{\dagger} \end{pmatrix} \begin{pmatrix} \frac{\omega_e + \omega}{2} & 0 \\ 0 & \frac{\omega_e + \omega}{2} \end{pmatrix} \begin{pmatrix} b_e \\ a \end{pmatrix} + \begin{pmatrix} b_e^{\dagger}, a^{\dagger} \end{pmatrix} \begin{pmatrix} \frac{\omega_e - \omega}{2} & g\alpha \\ g^*\alpha^* & -\frac{\omega_e - \omega}{2} \end{pmatrix} \begin{pmatrix} b_e \\ a \end{pmatrix}$$

$$= \epsilon_0 (b_e^{\dagger} b_e + a^{\dagger} a) + (b_e^{\dagger}, a^{\dagger}) \begin{pmatrix} \Omega & g \alpha \\ g^* \alpha^* & -\Omega \end{pmatrix} \begin{pmatrix} b_e \\ a \end{pmatrix}$$

$$= \epsilon_0 \hat{N} + \sqrt{\Omega^2 + |g\alpha|^2} (b_e^{\dagger}, a^{\dagger}) \begin{pmatrix} \cos\theta & \sin\theta e^{i\varphi} \\ \sin\theta e^{-i\varphi} & -\cos\theta \end{pmatrix} \begin{pmatrix} b_e \\ a \end{pmatrix}$$

接下来只要对角化哈密顿矩阵

$$H = \begin{bmatrix} \cos\theta & \sin\theta e^{i\varphi} \\ \sin\theta e^{-i\varphi} & -\cos\theta \end{bmatrix}.$$

对应于本征值±1, 有本征函数

$$|\varphi_{+}\rangle = \begin{pmatrix} \cos\frac{\theta}{2}e^{i\varphi/2} \\ \sin\frac{\theta}{2}e^{-i\varphi/2} \end{pmatrix}, \quad |\varphi_{-}\rangle = \begin{pmatrix} \sin\frac{\theta}{2}e^{i\varphi/2} \\ -\cos\frac{\theta}{2}e^{-i\varphi/2} \end{pmatrix}$$

构造用于对角化H的幺正矩阵

对角化H的幺正矩阵
$$W = \begin{pmatrix} \cos \frac{\theta}{2} e^{i\varphi/2} & \sin \frac{\theta}{2} e^{i\varphi/2} \\ \sin \frac{\theta}{2} e^{-i\varphi/2} & -\cos \frac{\theta}{2} e^{-i\varphi/2} \end{pmatrix}$$

$$W^{\dagger}HW = \begin{pmatrix} 1 & 0 \\ 0 & -1 \end{pmatrix}$$

$$H_{\text{eff}} = \epsilon_0 \widehat{N} + \sqrt{\Omega^2 + |g\alpha|^2} (b_e^{\dagger}, a^{\dagger}) W \begin{pmatrix} 1 & 0 \\ 0 & -1 \end{pmatrix} W^{\dagger} \begin{pmatrix} b_e \\ a \end{pmatrix}$$

它使得
$$W^{\dagger}HW = \begin{pmatrix} 1 & 0 \\ 0 & -1 \end{pmatrix}$$
 于是
$$H_{\mathrm{eff}} = \epsilon_0 \hat{N} + \sqrt{\Omega^2 + |g\alpha|^2} (b_e^{\dagger}, a^{\dagger}) W \begin{pmatrix} 1 & 0 \\ 0 & -1 \end{pmatrix} W^{\dagger} \begin{pmatrix} b_e \\ a \end{pmatrix}$$
 定义极化基元的产生消灭算子
$$\begin{pmatrix} B \\ A \end{pmatrix} = W^{\dagger} \begin{pmatrix} b_e \\ a \end{pmatrix} = \begin{pmatrix} \cos\frac{\theta}{2} \, \mathrm{e}^{-\mathrm{i}\varphi/2} & \sin\frac{\theta}{2} \, \mathrm{e}^{-\mathrm{i}\varphi/2} \\ \sin\frac{\theta}{2} \, \mathrm{e}^{-\mathrm{i}\varphi/2} & -\cos\frac{\theta}{2} \, \mathrm{e}^{\mathrm{i}\varphi/2} \end{pmatrix} \begin{pmatrix} b_e \\ a \end{pmatrix}$$

$$B = e^{-i\varphi/2}\cos\frac{\theta}{2}b_e + \sin\frac{\theta}{2}e^{-i\varphi/2}a$$
$$A = \sin\frac{\theta}{2}e^{-i\varphi/2}b_e - \cos\frac{\theta}{2}e^{i\varphi/2}a$$

 $A和B中混合了原子激发b_e和光子激发a.$ 对角化的哈密顿量

其中

$$N = b_e^{\dagger} b_e + a^{\dagger} a = B^{\dagger} B + A^{\dagger} A$$

代表总激发数; 能量本征态

$$|N_A, N_B\rangle = \frac{1}{\sqrt{N_A! N_B!}} B^{\dagger N_A} B^{\dagger N_B} |0\rangle$$

称为多原子的Dressed States; 其激发谱

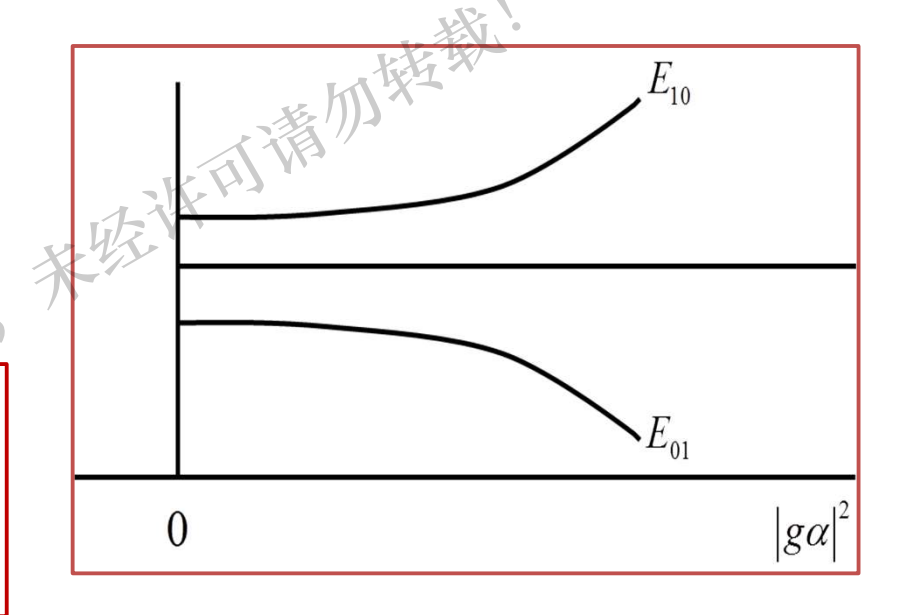
$$E_{N_A,N_B} = \epsilon_0 (N_A + N_B) + E(N_B - N_A)$$
$$E = \sqrt{\Omega^2 + |g\alpha|^2}$$

两个最低激发态|1,0>和|0,1>的能量随耦合强度变化

$$E_{10} = \epsilon_0 + \sqrt{\Omega^2 + |g\alpha|^2}$$

$$E_{01} = \epsilon_0 - \sqrt{\Omega^2 + |g\alpha|^2}$$

两个能量分支表示光场与多原子集体态的耦合,形成了相干的复合系统束缚态。



从J-C模型出发,考虑场量子化的物理效应。

$$|\psi(0)\rangle = |e,n\rangle$$

$$|e,n\rangle = \cos\frac{\theta_n}{2}|+,n\rangle + \sin\frac{\theta_n}{2}|-,n\rangle$$

则

$$-0$$
模型出发,考虑场量子化的物理效应。由
$$|\psi(0)\rangle = |e,n\rangle$$

$$|e,n\rangle = \cos\frac{\theta_n}{2}|+,n\rangle + \sin\frac{\theta_n}{2}|-,n\rangle$$

$$|\psi(t)\rangle = \cos\frac{\theta_n}{2}e^{-iE_n^+t}|+,n\rangle + \sin\frac{\theta_n}{2}e^{-iE_n^-t}|-,n\rangle$$

跃迁到 $|g,n+1\rangle$ 的几率为

$$P_n = |\langle g, n+1|\psi(t)\rangle|^2$$

$$P_n = |\langle g, n+1 | \psi(t) \rangle|^2$$

$$= |\cos \frac{\theta_n}{2} e^{-iE_n^+ t} \langle g, n+1 | + n \rangle + \sin \frac{\theta_n}{2} e^{-iE_n^- t} \langle g, n+1 | -n \rangle|^2$$

$$= \left| -\sin \frac{\theta_n}{2} \cos \frac{\theta_n}{2} e^{-iE_n^+ t} + \sin \frac{\theta_n}{2} \cos \frac{\theta_n}{2} e^{-iE_n^- t} \right|^2$$

$$= \sin^2 \theta_n \sin^2 \left[\sqrt{\frac{\delta^2}{4} + (n+1)g^2 t} \right]$$

$$= \left| -\sin \frac{\theta_n}{2} \cos \frac{\theta_n}{2} e^{-iE_n^+ t} + \sin \frac{\theta_n}{2} \cos \frac{\theta_n}{2} e^{-iE_n^- t} \right|^2$$

$$= \sin^2 \theta_n \sin^2 \left[\sqrt{\frac{\delta^2}{4} + (n+1)g^2} t \right]$$

$$= \frac{4g^{2}(n+1)}{\delta^{2}+4(n+1)g^{2}}\sin^{2}\left[\sqrt{\frac{\delta^{2}}{4}+(n+1)g^{2}}t\right]$$

真空自发辐射

光场处在真空态上n=0,量子光场也会导致从激发态到真空态的跃迁。

跃迁几率

$$P_0 = \frac{4g^2}{\sqrt{\delta^2 + 4g^2}} \sin^2 \left[\sqrt{\frac{\delta^2}{4} + g^2} t \right]$$

真空中的原子可以发生从激发态到基态的辐射——自发辐射(spontaneous radiation),是电磁场的真空涨落引起的纯量子效应。

自发辐射(爱因斯坦):

即使不存在外部电磁场,处在激发态的原子是不稳定的,会从激发态跃迁到基态并辐射光子。

微扰哈密顿量

$$H_I = \frac{1}{M}p \cdot A + \frac{A^2}{2M},$$

- 矩阵元 $\langle g|H_I|e\rangle$ 决定了跃迁几率幅,当A=0时它为零。
- 解释自发辐射必然涉及场的量子化:真空态的场场强 为零,但真空涨落不为零,这是自发辐射的根本原因。

早在量子力学建立之前,爱因斯坦就提出了自发辐射的唯象描述,这个理论在近似的意义下至今仍然是正确的。

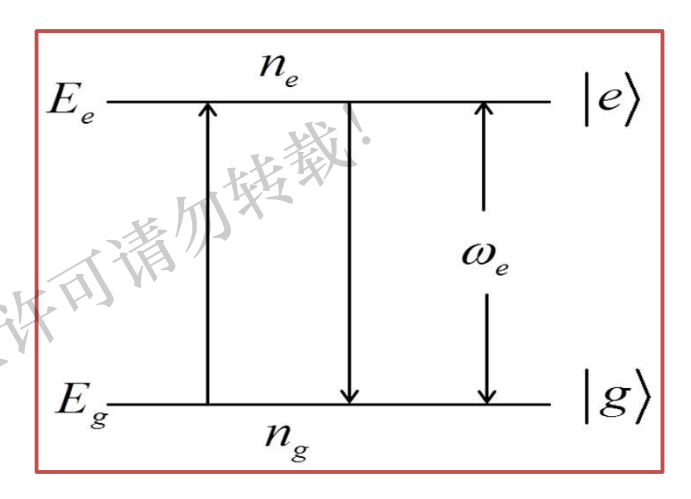
自发辐射的半经典唯象描述

在强度分布为 $\rho(\omega)$ 的光场下,原子从 $|g\rangle$ 到 $|e\rangle$ 的受激吸收几率

$$W_{eg} = B_{eg}\rho(\omega_e)$$
, $E_e > E_g$

偶极近似下的吸收系数 B_{eg} (微扰理论)

$$B_{eg} = \frac{4\pi^2 e^2}{3\hbar^2} |\langle e|r|g\rangle|^2$$



受激辐射: $\mathcal{M}|e\rangle$ 到 $|g\rangle$ 的跃迁几率

$$W_{ge} = B_{ge} \rho(\omega_e)$$

位置算符r的厄米性决定了 $B_{eq} = B_{ge}$

Boltzmann分布:稳定状态时, $|e\rangle$ 和 $|g\rangle$ 上原子数之比

$$\frac{n_e}{n_g} = e^{(E_g - E_e)/k_B T} = e^{\hbar \omega_e/k_B T}$$

因此

$$n_g B_{eg} \rho(\omega_e) \neq n_e B_{ge} \rho(\omega_e)$$

即仅有受激过程时, 辐射和吸收无法平衡。

维持平衡必须唯象地加入自发辐射项(A系数),使受激吸收辐射过程平衡:

$$n_g B_{eg} \rho(\omega_e) = n_e B_{ge} \rho(\omega_e) + n_e A_{ge}$$

联立两式:
$$\rho(\omega_e) = \frac{A_{eg}}{B_{eg}} \frac{1}{n_g/n_e - 1} = \frac{A_{eg}}{B_{eg}} \frac{1}{\mathrm{e}^{\beta\hbar\omega_e} - 1}$$
 高温极限下
$$\mathrm{e}^{\beta\hbar\omega_e} \simeq 1 + \beta\hbar\omega_e$$
 与黑体辐射经验公式相一致:
$$\rho(\omega_e) \xrightarrow{T \to \infty} \frac{A_{eg}}{B_{eg}} \frac{1}{\beta\hbar\omega_e}$$

$$e^{\beta\hbar\omega_e} \simeq 1 + \beta\hbar\omega_e$$

$$\rho(\omega_e) \xrightarrow{T \to \infty} \frac{A_{eg}}{B_{eg}} \frac{1}{\beta \hbar \omega_e}$$

比较高温极限的经验结果—Reyleigh-Jeans公式

圣验结果—Reyleigh-Jean
$$\rho(\omega) = \frac{\omega^2}{\pi^2 c^3} k_B T$$

得到自发辐射系数

$$A_{eg} = \beta B_{eg} \hbar \omega_e \rho(\omega_e)$$

$$= \frac{4e^2 \omega_e^3}{3\hbar c^3} |\langle e|r|g\rangle|^2$$

一与一阶微扰结论相似:描述自发辐射的短时间行为。

从
$$|2P\rangle$$
态到 $|1S\rangle$ 的跃迁的 A 系数
$$A_{1S,2P} = \frac{4e^2}{3\hbar c^3} \omega_{1S,2P}^3 |\langle 1S|r|2P\rangle|^2$$
 氢原子本征函数
$$\frac{1}{2} \sum_{n=1}^{\infty} \frac{1}{n^2} \frac{z}{n^2} e^{-r/2a}$$

$$A_{1S,2P} = \frac{1}{3\hbar c^3} \omega_{1S,2P}^3 |\langle 1S|r|2P \rangle|^2$$
 氢原子本征函数
$$\psi_{210} = \langle r|2P \rangle = \frac{1}{4\sqrt{2\pi}} \frac{z}{a^{5/2}} e^{-r/2a}$$

$$\psi_{100} = \langle r|1S \rangle = \frac{1}{\pi^{1/2} a^{3/2}} e^{-r/a}$$
 计算出
$$A_{1S,2P} \sim 6.27 \times 10^8 \, \mathrm{s}^{-1}$$

$$|2P\rangle \stackrel{\wedge}{\sim} = \pi$$

$$\psi_{100} = \langle r | 1S \rangle = \frac{1}{\pi^{1/2} a^{3/2}} e^{-r/a}$$

$$A_{1S,2P} \sim 6.27 \times 10^8 \,\mathrm{s}^{-1}$$

$$\tau = 1/A \sim 1.6 \times 10^{-9} \text{ s}$$

自由空间中:

必须考虑多模光场与二能级原子通过电偶极作用耦合。

 b_{α}^{\dagger} , b_{α} : 电磁场的产生消灭算子

 $|e\rangle,|g\rangle$: 原子的激发态和基态

旋波近似下系统哈密顿量

$$H = \hbar \omega_{e} |e\rangle\langle e| + \sum_{\alpha} \hbar \omega_{\alpha} b_{\alpha}^{\dagger} b_{\alpha} + \sum_{\alpha} (V_{\alpha}^{*} b_{\alpha} |e\rangle\langle g| + V_{\alpha} b_{\alpha}^{\dagger} |g\rangle\langle e|)$$

自发辐射:原子处在激发态且场处在真空态时的量子跃迁。

这个过程可以描述为从初态

$$|\psi(0)\rangle=|e\rangle\otimes|0_1\rangle\otimes\cdots\otimes|0_n\rangle\equiv|e\rangle\otimes|0\rangle\equiv|e,0\rangle$$
 到末态

$$|\psi_f\rangle=|g\rangle\otimes|1_{lpha}\rangle \pm|g,1_{lpha}
angle$$

的跃迁。

$$|0\rangle \equiv |0\rangle \otimes |0\rangle \otimes \cdots |0\rangle$$

$$|1_{\alpha}\rangle \equiv |0\rangle \otimes |0\rangle \otimes \cdots \otimes |1_{\alpha}\rangle \otimes |0\rangle \otimes \cdots \otimes |0\rangle$$

$$|\psi(t)\rangle = e^{-i\omega_e t} \left(A(t)|e,0\rangle + \sum_{\lambda} B_{\lambda}(t)|g,1_{\lambda}\rangle \right)$$

则

$$|\psi(t)\rangle = \mathrm{e}^{-\mathrm{i}\omega_{e}t} \left(A(t)|e,0\rangle + \sum_{\lambda} B_{\lambda}(t)|g,1_{\lambda}\rangle \right)$$

$$\left\{ \mathrm{i}\hbar \frac{\partial A(t)}{\partial t} = \sum_{\lambda} V_{\lambda}^{*} B_{\lambda}(t)$$

$$\mathrm{i}\hbar \frac{\partial B_{\lambda}(t)}{\partial t} = \hbar(\omega_{\lambda} - \omega_{e}) B_{\lambda}(t) + V_{\lambda} A(t) \right\}$$
ace 变换

Laplace变换

它e变换
$$\bar{f}(P) = \int_0^\infty \mathrm{d}t f(t) \mathrm{e}^{-Pt} \quad (f = A, B_{\lambda})$$

$$\begin{cases} P\bar{A}(P) = \sum_{\lambda} \frac{V_{\lambda}^{*}}{i\hbar} \bar{B}_{\lambda}(P) + 1 \\ (P + i(\omega_{\lambda} - \omega_{e})) \bar{B}_{\lambda}(P) = \frac{V_{\lambda}}{i\hbar} \bar{A}(P) \end{cases}$$

$$\Rightarrow \begin{cases} \bar{A}(P) = \frac{1}{P + \Gamma(P)} \\ \bar{B}_{\lambda}(P) = \frac{V_{\lambda}}{i\hbar} \frac{1}{(P + \Gamma(P))(P + i(\omega_{\lambda} - \omega_{e}))} \end{cases}$$

$$\Gamma(P) = \sum_{\lambda} \frac{|V_{\lambda}|^{2}}{\hbar^{2}} \frac{1}{P + i(\omega_{\lambda} - \omega_{e})}$$

其中

$$\Gamma(P) = \sum_{\lambda} \frac{|V_{\lambda}|^2}{\hbar^2} \frac{1}{P + i(\omega_{\lambda} - \omega_e)}$$

Wigner-Weisskopff近似:

无相互作用时 $|V_{\lambda}|^2=0$, $P+\Gamma(P)$ 的零点为 $P_0=0$;

 $|V_{\lambda}|$ 很小时,零点是0附近的微扰展开

$$P_0 = P^{[0]} + \mu P^{[1]} + \mu^2 P^{[2]} + \cdots$$

$$P_0 = P^{[0]} + \mu P^{[1]} + \mu^2 P^{[2]} + \dots$$

$$P_0 + \sum_{\lambda} \frac{|V_{\lambda}|^2}{\hbar^2} \frac{1}{P_0 + \mathrm{i}(\omega_{\lambda} - \omega_e)} = 0$$
 μ 为微扰参量, $\mu \sim |V_{\lambda}|^2$

$$P^{[0]} = 0, \qquad P^{[1]} = -\sum_{\lambda} \frac{1}{\hbar^2} \frac{|V_{\lambda}|^2}{P^{[0]} + i\Delta_{\lambda}}$$

比较
$$\mu$$
的同次系数有
$$P^{[0]} = 0, \qquad P^{[1]} = -\sum_{\lambda} \frac{1}{\hbar^2} \frac{|V_{\lambda}|^2}{P^{[0]} + \mathrm{i}\Delta_{\lambda}}$$
 其中 $\Delta_{\lambda} = (\omega_{\lambda} - \omega_{e})$ 一级近似下零点为
$$P \approx P^{[1]} = -\lim_{P^{[0]} \to 0} \sum_{\lambda} \frac{1}{\hbar^2} \frac{|V_{\lambda}|^2}{P^{[0]} + \mathrm{i}\Delta_{\lambda}}$$

$$P^{[1]} = -\lim_{P^{[0]} \to 0} \sum_{\lambda} \frac{|V_{\lambda}|^2 / \hbar^2}{P^{[0]} + i\Delta_{\lambda}} \qquad \lim_{s \to 0} \frac{1}{x + is} = \frac{1}{x} - i\pi\delta(x)$$

$$= i \sum_{\lambda} \frac{|V_{\lambda}|^2 / \hbar^2}{\Delta_{\lambda}} - \pi \sum_{\lambda} \frac{|V_{\lambda}|^2}{\hbar^2} \delta(\omega_{\lambda} - \omega_{\alpha})$$

$$= -\frac{1}{2} \gamma - i\Delta\omega$$
其中衰减率
$$\gamma = 2\pi \sum_{\lambda} \frac{|V_{\lambda}|^2}{\hbar^2} \delta(\omega_{\lambda} - \omega_{e})$$
amb 移动
$$\Delta\omega = \sum_{\lambda} \frac{|V_{\lambda}|^2 / \hbar^2}{\omega_{e} - \omega_{\lambda}}$$

其中衰减率

$$\gamma = 2\pi \sum_{\lambda} \frac{|V_{\lambda}|^2}{\hbar^2} \delta(\omega_{\lambda} - \omega_e)$$

Lamb移动

$$\Delta\omega = \sum_{\lambda} \frac{|V_{\lambda}|^2/\hbar^2}{\omega_e - \omega_{\lambda}}$$

弱作用极限下:

$$\begin{cases} \bar{A}(P) \approx \frac{1}{P + \frac{1}{2}\gamma + \mathrm{i}\Delta\omega} \\ \bar{B}_{\lambda}(P) \approx \frac{V_{\lambda}}{\mathrm{i}\hbar} \frac{1}{\left(P + \frac{1}{2}\gamma + \mathrm{i}\Delta\omega\right)\left(P + \mathrm{i}(\omega_{\lambda} - \omega_{e})\right)} \end{cases}$$
 反演给出演化态中各个分量的几率幅

$$\begin{cases} A(t) = e^{-\frac{1}{2}\gamma t - i\Delta\omega t} \\ B_{\lambda}(t) = -\frac{V_{\lambda}}{\hbar} \frac{\left(e^{-\frac{\gamma}{2}t - i(\omega_{e} - \omega_{\lambda} + \Delta\omega)t} - 1\right)e^{-i(\omega_{\lambda} - \omega_{e})t}}{\omega_{\lambda} - \omega_{e} - \Delta\omega + i\frac{1}{2}\gamma} \end{cases}$$

引入重整化频率 $\omega_P = \omega_e + \Delta \omega$

整化频率
$$\omega_P = \omega_e + \Delta \omega$$

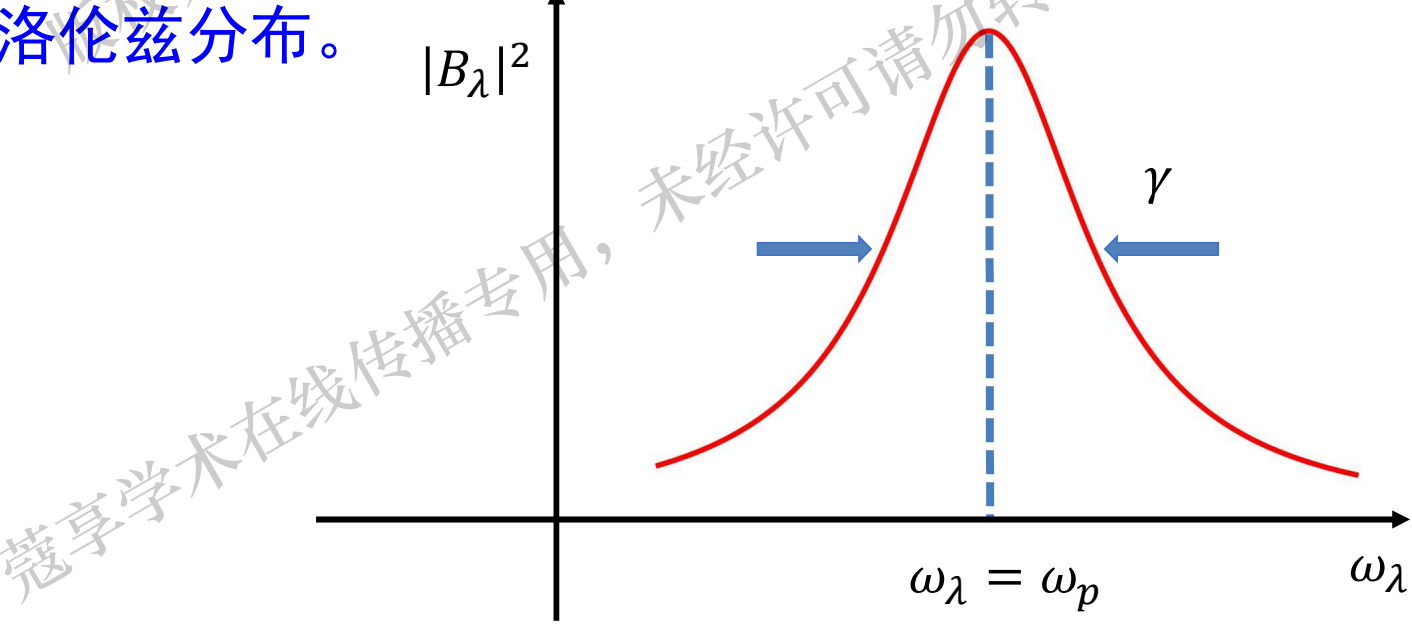
$$\begin{cases} a(t) = \mathrm{e}^{-\mathrm{i}\omega_e t} A(t) = \mathrm{e}^{-\frac{1}{2}\gamma t - \mathrm{i}\omega_p t} \\ B_{\lambda}(t) = -\frac{V_{\lambda} \left(\mathrm{e}^{-\frac{\gamma}{2}t - \mathrm{i}(\omega_p - \omega_{\lambda})t} - 1 \right) \mathrm{e}^{-\mathrm{i}(\omega_{\lambda} - \omega_e)t}}{-(\omega_p - \omega_{\lambda}) + \mathrm{i}\frac{1}{2}\gamma} \end{cases}$$
 间内原子由激发态跃迁到基态的几率(衰变率)

单位时间内原子由激发态跃迁到基态的几率

$$P_{e \to g} = \frac{1}{|a(t)|^2} \frac{\mathrm{d}}{\mathrm{d}t} |a(t)|^2 = \gamma$$

辐射场的光子数分布,即吸收谱:

$$|B_{\lambda}(t\to\infty)|^2 = \frac{|V_{\lambda}|^2}{\hbar^2} \frac{1}{\frac{\gamma^2}{4} + (\omega_p - \omega_{\lambda})^2}$$
 是典型的洛伦兹分布。
$$|B_{\lambda}|^2$$



记 $V(\omega_{\lambda}) = V_{\lambda}$,量子化的电磁场

$$V(\omega_{\lambda}) = V_{\lambda}$$
,量子化的电磁场
$$\vec{E}(r,t) = \mathrm{i} \sum_{\lambda=(q,\delta)} \sqrt{\frac{\hbar\omega_{\alpha}}{2\epsilon_{0}V}} \vec{e}_{\delta}(q) (b_{q\delta}(t)\mathrm{e}^{\mathrm{i}q\cdot r} - b_{q\delta}^{\dagger}(t)\mathrm{e}^{-\mathrm{i}q\cdot r})$$
 极近似下的相互作用

偶极近似下的相互作用

$$V_{\text{dipole}} = -e\vec{E} \cdot \vec{r} = -\vec{\mu} \cdot \vec{E}$$

近似下的相互作用
$$V_{\text{dipole}} = -e\vec{E} \cdot \vec{r} = -\vec{\mu} \cdot \vec{E}$$

$$\gamma = \frac{2\pi}{\hbar^2} \sum_{q} \frac{\hbar \omega_{\alpha}}{2\epsilon V} \sum_{\delta} |\langle e|\vec{e}_{\delta}(q) \cdot \mu|g \rangle|^2 \, \delta(\omega_q - \omega_{\alpha})$$

$$= \frac{2\pi}{\hbar^2} \sum_{q} \frac{\hbar \omega_{\alpha}}{2\epsilon_0 V} |\mu_{eg}|^2 (1 - \cos^2\theta) \delta(\omega_q - \omega_{\alpha})$$

非简并情况下,把求和换成积分,给出自发辐射率的明显表达式

$$\gamma = \frac{\omega_{\alpha}^{3} |\mu|^{2}}{3\pi\hbar c^{3} \epsilon_{0}}$$

谱分布为 $\rho(\omega)$

$$\gamma = \frac{\omega_{\alpha}^{3} |\mu|^{2} \rho(\omega_{\alpha})}{3\pi \hbar c^{3} \epsilon_{0}}$$

上述结果与爱因斯坦最早从半经典近似得到的结果一致

4.4 相对论带电粒子的经典力学

非相对论量子力学给出描述带电粒子运动的哈密顿量

$$H = \frac{1}{2m}(p - eA)^2 + e\varphi$$

相对论下的洛伦兹方程

$$\frac{\mathrm{d}}{\mathrm{d}t} \left(\frac{m\,\overline{v}}{\sqrt{1 - v^2/c^2}} \right) = e\left[\overline{E} + \overline{v} \times \overline{B}\right]$$

哈密顿量

对应的哈密顿量

密顿量
$$H = \sqrt{m^2c^4 + c^2(\hat{p} - e \overrightarrow{A})^2} + e\varphi$$

4.4 相对论带电粒子的运动方程

正则方程

$$\dot{x} = \frac{\partial H}{\partial p_x} = \frac{c^2(p_x - eA_x)}{\sqrt{m^2c^4 + c^2(p - eA)^2}}$$

$$x = \frac{\partial H}{\partial x} = -e\frac{\partial \varphi}{\partial x} - \frac{\partial H}{\partial (p - eA)} \left(-e\frac{\partial \overrightarrow{A}}{\partial x}\right)$$
書方程

应用麦克斯韦方程

$$\overrightarrow{E} = -\nabla \varphi - \frac{\partial \overrightarrow{A}}{\partial t}$$

$$\overrightarrow{B} = \nabla \times \overrightarrow{A}$$

$$\overrightarrow{A}_{x} = \frac{\partial A_{x}}{\partial t} + \frac{\partial A_{x}}{\partial r} \cdot \dot{\overrightarrow{r}}$$

正则方程给出相对论带电粒子的运动方程。

4.4 相对论带电粒子的量子力学(I)

A = 0时,不妨把*当成量子化的哈密顿量

$$\sqrt{m^2c^4 + c^2p^2}|\psi\rangle = \left(-i\hbar\frac{\partial}{\partial t} - e\varphi\right)|\psi\rangle$$

问题:

- 关于时空坐标不对称。方程左边涉及到时空坐标的高阶微分,而右边是时间的一阶微分,方程不协变。
- 2. 二阶对称的克莱因-戈登(Klein-Gordon)方程: 从协变的质能关系出发

4.4 相对论带电粒子的量子力学(II)

$$E^2 = c^2 \hat{p}^2 + m^2 c^4$$

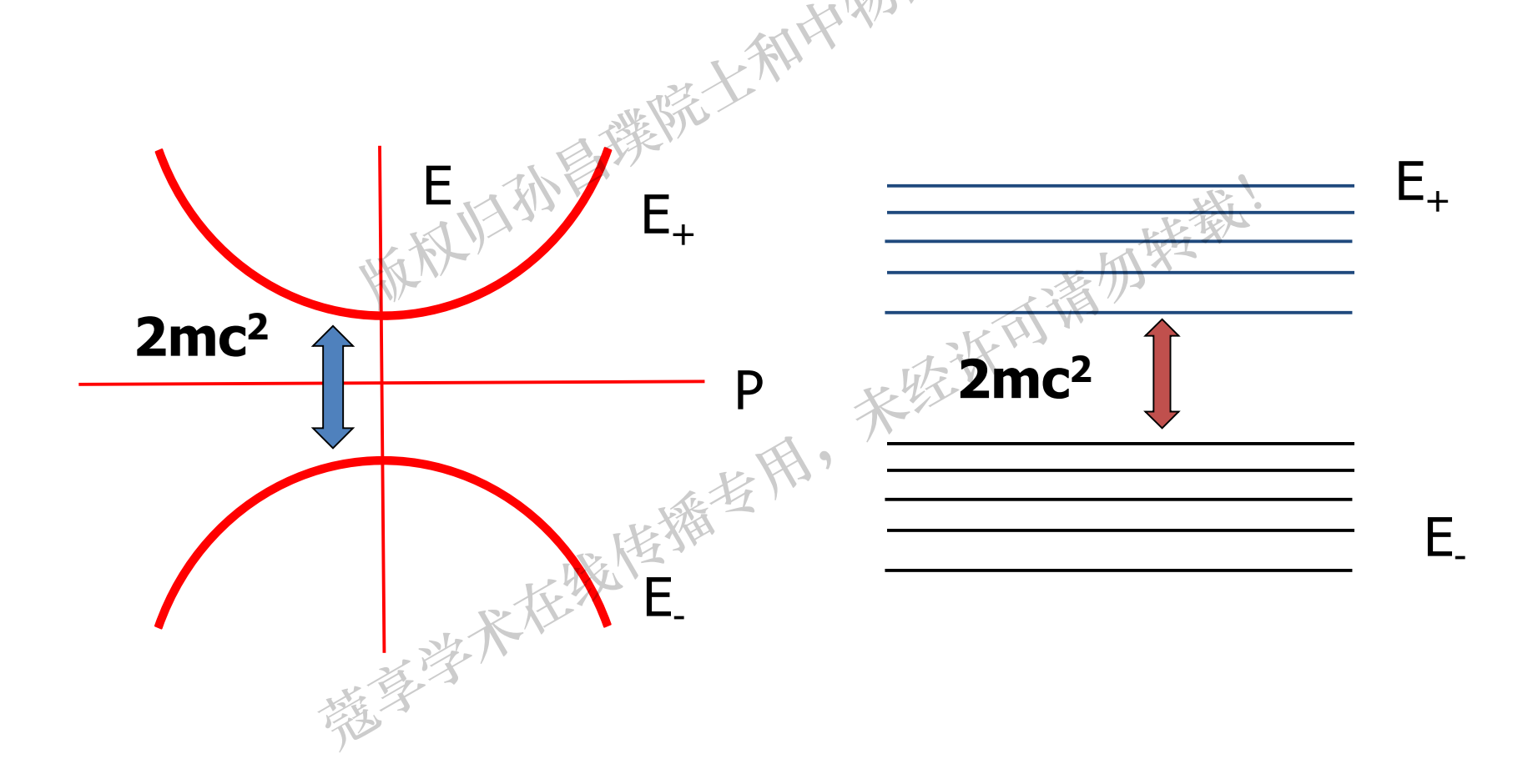
$$E^2=c^2\hat{p}^2+m^2c^4$$
对应的克莱因—戈登方程
$$\frac{\partial^2}{\partial t^2}\psi=c^2\hbar^2\nabla^2\phi+m^2c^4\phi$$
然而,它的平面波解
$$\psi\cong \exp(\mathrm{i}px)\mathrm{e}^{-\mathrm{i}Et}$$
有色散关系

$$\psi \cong \exp(\mathrm{i} p x) \mathrm{e}^{-\mathrm{i} E t}$$

$$E = \pm \sqrt{c^2 p^2 + m^2 c^4}$$

4.4 相对论带电粒子的量子力学(II)

克莱因-戈登方程存在负能解,系统极不稳定:



4.4 相对论带电粒子的量子力学与自旋

狄拉克方程相对论协变,波函数多分量 () 自旋

哈密顿量

暗密顿重
$$H = c \left[\alpha_x p_x + \alpha_y p_y + \alpha_z p_z \right] + \beta m c^2$$

$$\equiv c \vec{\alpha} \cdot \vec{p} + \beta m c^2$$



$$\equiv c\vec{\alpha} \cdot \vec{p} + \beta mc^2$$
 本征方程给出质能关系
$$c(\alpha_x \frac{\hbar}{i} \partial_x + \alpha_y \frac{\hbar}{i} \partial_y + \alpha_z \frac{\hbar}{i} \partial_z + \beta mc^2) \psi = E\psi **$$

$$E^2 = m^2 c^4 + c^2 p^2$$
 确定 $\vec{\alpha}$ 和 $\vec{\beta}$ 的形式

定态狄拉克方程

定念状が見り作動
$$(c\vec{\alpha}\cdot\vec{p}+\beta mc^2-E)\psi=0$$
用
$$D=c\,\vec{\alpha}\cdot p+\beta mc^2-E$$
再作用一次:
$$(c\vec{\alpha}\cdot\vec{p}+\beta mc^2-F)^2\psi=0=D^2$$

$$D = c \, \overrightarrow{\alpha} \cdot p + \beta mc^2 - E$$

$$(c\vec{\alpha}\cdot\vec{p} + \beta mc^2 - E)^2\psi = 0 \equiv D^2\psi$$

再作用一次: $(c\vec{\alpha}\cdot\vec{p}+\beta mc^2-E)^2\psi=0\equiv D^2\psi$ 假设 $\{\alpha_l,l=x,y,z,0\}$ 与空间坐标和动量对易: $[\alpha_l,r]=0,\qquad r=x,y,z$

$$[\alpha_l, r] = 0, \qquad r = x, y, z$$

$$D^{2} = -\alpha_{x}^{2} \frac{\partial^{2}}{\partial x^{2}} - \alpha_{y}^{2} \frac{\partial^{2}}{\partial y^{2}} - \alpha_{z}^{2} \frac{\partial^{2}}{\partial z^{2}}$$

$$+ (\alpha_{x}\alpha_{y} + \alpha_{y}\alpha_{x}) \frac{\partial^{2}}{\partial x \partial y} + \cdots (\beta \alpha_{x} + \alpha_{x}\beta) \frac{\partial^{2}}{\partial x^{2}} + \cdots$$

$$\begin{cases} l = x, y, z, 0 \\ \alpha_{l}^{2} = 1, \alpha_{0} = \beta \\ \alpha_{x}\alpha_{y} + \alpha_{y}\alpha_{x} = 0 \\ \alpha_{l}\beta + \beta \alpha_{l} = 0 \end{cases}$$

$$\begin{cases} l = x, y, z, 0 \\ \alpha_l^2 = 1, \alpha_0 = \beta \\ \alpha_x \alpha_y + \alpha_y \alpha_x = 0 \\ \alpha_l \beta + \beta \alpha_l = 0 \end{cases}$$

得到

$$c(\alpha_x \frac{\hbar}{i} \partial_x + \alpha_y \frac{\hbar}{i} \partial_y + \alpha_z \frac{\hbar}{i} \partial_z + \beta mc^2)\psi = E\psi **$$

证明分两步

- (1) 满足上述条件的 α , β 最低阶是 4×4 矩阵

(1) 满足上述条件的
$$\alpha$$
, β 最低阶是 4×4 矩阵

(2) 假设 4×4 矩阵

$$\alpha_x = \begin{bmatrix} 0 & \sigma_x \\ \sigma_x & 0 \end{bmatrix} \qquad \alpha_y = \begin{bmatrix} 0 & \sigma_y \\ \sigma_y & 0 \end{bmatrix}$$

$$\alpha_z = \begin{bmatrix} 0 & \sigma_z \\ \sigma_z & 0 \end{bmatrix} \qquad \beta = \begin{bmatrix} I & 0 \\ 0 & -I \end{bmatrix}$$

$$\alpha_z = \begin{bmatrix} 0 & \sigma_z \\ \sigma_z & 0 \end{bmatrix} \qquad \beta = \begin{bmatrix} I & 0 \\ 0 & -I \end{bmatrix}$$

得到Dirac方程的矩阵形式

$$H = c\vec{\alpha} \cdot \vec{p} + \beta mc^2 = \begin{pmatrix} A & B \\ C & D \end{pmatrix}$$

irac方程的矩阵形式
$$H = c\vec{\alpha} \cdot \vec{p} + \beta mc^2 = \begin{pmatrix} A & B \\ C & D \end{pmatrix}$$

$$H = \begin{bmatrix} mc^2I & c\vec{\sigma} \cdot \vec{p} \\ c\vec{\sigma} \cdot \vec{p} & -mc^2I \end{bmatrix}, I = \begin{pmatrix} 1 & 0 \\ 0 & 1 \end{pmatrix}$$
量本征方程

解四分量本征方程

$$\psi = \begin{pmatrix} \psi_L \\ \psi_S \end{pmatrix} = \begin{pmatrix} \psi_1 \\ \psi_2 \\ \psi_3 \\ \psi_4 \end{pmatrix}$$

Dirac方程的理论预言——自由电子的Zitterbewegung效应

$$\dot{x} = \frac{1}{\mathrm{i}\hbar}[x, H] = c\alpha_x;$$

$$\dot{x} = \frac{1}{i\hbar}[x, H] = c\alpha_x;$$

$$\dot{\alpha}_x = \frac{1}{i\hbar}[\alpha_x, H] = \frac{1}{i\hbar}[\alpha_x H - H\alpha_x] = \frac{1}{i\hbar}[2\alpha_x H - \{\alpha_x, H\}]$$

$$= \frac{1}{i\hbar}[2\alpha_x H - 2cp_x];$$
即有
$$\ddot{\alpha}_x = \frac{1}{i\hbar}[2\dot{\alpha}_x H - 2c\dot{p}_x] = \frac{1}{i\hbar}(2\dot{\alpha}_x H)$$

$$=\frac{1}{\mathrm{i}\hbar}[2\alpha_x H - 2cp_x];$$

$$\ddot{\alpha}_{x} = \frac{1}{i\hbar} \left[2\dot{\alpha}_{x}H - 2c\dot{p}_{x} \right] = \frac{1}{i\hbar} (2\dot{\alpha}_{x}H)$$

$$\alpha_{x}(t) = \frac{\mathrm{i}\hbar}{2H}\dot{\alpha}_{x}(0)\exp\left(-\frac{2\mathrm{i}H}{\hbar}t\right) + \frac{cp_{x}}{H}$$

$$\dot{x} = \frac{\mathrm{i}\hbar}{2H} c\dot{\alpha}_x(0) \exp\left[-\frac{2\mathrm{i}H}{\hbar}t\right] + \frac{c^2 p_x}{H}$$

把
$$p_x$$
和 H 作为常数得到
$$\alpha_x(t) = \frac{\mathrm{i}\hbar}{2H}\dot{\alpha}_x(0)\exp\left(-\frac{2\mathrm{i}H}{\hbar}t\right) + \frac{cp_x}{H}$$

$$\dot{x} = \frac{\mathrm{i}\hbar}{2H}c\dot{\alpha}_x(0)\exp\left[-\frac{2\mathrm{i}H}{\hbar}t\right] + \frac{c^2p_x}{H}$$

$$x(t) = -\frac{\hbar^2}{4H^2}c\left(\exp\left[-\frac{2\mathrm{i}H}{\hbar}t\right] - 1\right)\dot{\alpha}_x(0) + \frac{c^2p_x}{H}t + \alpha$$

结论: 自由电子速度包含两部分:

1. 依赖于初始速度的常数部分

$$v_c = \frac{c^2 p_x}{H} \cong \frac{c^2 p_x}{mc^2} = \frac{p_x}{m}$$
2. 初态加速度的振荡部分

度的振荡部分
$$v_{os} = \frac{i\hbar}{2H} c\dot{\alpha}_{x}(0) \exp\left[-\frac{2iH}{\hbar}t\right]$$

其中

$$H \approx mc^2$$

考察
$$x(t) = -\frac{\hbar^2}{4H^2}c\left(\exp\left[-\frac{2\mathrm{i}H}{\hbar}t\right] - 1\right)\dot{\alpha}_x(0) + \frac{c^2p_x}{H}t + \alpha$$
 中振荡部分的贡献正比于 Zitterbewegung:

| exp
$$\left[-\frac{2iH}{\hbar}t\right] - 1$$
| = $4\sin^2\frac{H}{\hbar}t \approx 4\sin^2\frac{mc^2}{\hbar}t$

对时间做平均

$$\langle x \rangle_T = \alpha + c^2 p_x / H$$

$$\simeq \alpha + \frac{p_x}{m} t$$

最小耦合原理(规范不变性):
$$p = -i\hbar \nabla$$
换为机械动量 $\pi = \vec{p} + e\vec{A}$ 电子在电磁场中哈密顿量为

$$H = c \, \overrightarrow{\pi} \cdot \overrightarrow{\alpha} + \beta mc^2 + e\varphi$$

$$\Rightarrow$$
| ψ $\rangle = \begin{pmatrix} \psi_L \\ \psi_S \end{pmatrix}$, $H|\psi\rangle = E|\psi\rangle$ 给出

电子在电磁场中哈密顿量为
$$H = c \, \overrightarrow{\pi} \cdot \overrightarrow{\alpha} + \beta mc^2 + e \varphi$$
 令 $|\psi\rangle = \begin{pmatrix} \psi_L \\ \psi_S \end{pmatrix}$, $H|\psi\rangle = E|\psi\rangle$ 给出
$$\begin{pmatrix} mc^2 & c \overrightarrow{\sigma} \cdot \overrightarrow{\pi} \\ c \overrightarrow{\sigma} \cdot \overrightarrow{\pi} & -mc^2 \end{pmatrix} \begin{pmatrix} \psi_L \\ \psi_S \end{pmatrix} = E \begin{pmatrix} \psi_L \\ \psi_S \end{pmatrix}$$

习题

a)试给出在规范变换下,不含电磁场的Dirac方程的

a) 试给出在规范变换下,不含电磁场的Dirac
$$\vec{r}$$

$$i\hbar \frac{\partial}{\partial t} \psi = H \psi \qquad H = c \vec{\alpha} \cdot \vec{p} + \beta m c^2$$
 变换结果。

b)验证具有最小耦合作用的Dirac方程在规范变换下是不变的

分量表达

分量表达
$$c(\vec{\sigma} \cdot \vec{\pi})\psi_S = (E - mc^2 - e\varphi)\psi_L \equiv (E_N - e\varphi)\psi_L$$

$$c(\vec{\sigma} \cdot \vec{\pi})\psi_L = (E_N + 2mc^2 - e\varphi)\psi_S$$
 在非相对论极限下

$$(\vec{r} \cdot \vec{\pi})\psi_S = (E - mc^2 - e\varphi)\psi_L \equiv (E_N - e\varphi)\psi_L$$
 $c(\vec{\sigma} \cdot \vec{\pi})\psi_L = (E_N + 2mc^2 - e\varphi)\psi_S$
对论极限下
$$E_N = (E - mc^2) \ll 2mc^2$$

$$e\varphi \ll 2mc^2 \qquad mc^2 = 511 \text{ KeV}$$

$$\psi_S \simeq \frac{1}{2mc^2} (\vec{\sigma} \cdot \vec{\pi})\psi_L$$

故

$$(E_N - e\varphi)\psi_L = \frac{1}{2m} (\vec{\sigma} \cdot \vec{\pi})^2 \psi_L$$

利用公式

$$(\vec{\sigma} \cdot \vec{a})(\vec{\sigma} \cdot \vec{b}) = (\vec{a} \cdot \vec{b}) + i\vec{\sigma} \cdot (\vec{a} \times \vec{b})$$

得到

$$\overrightarrow{\pi} \times \overrightarrow{\pi} = (\overrightarrow{p} - e \overrightarrow{A}) \times (\overrightarrow{p} - e \overrightarrow{A})$$

$$= \overrightarrow{p} \times \overrightarrow{p} + e^{2}(\overrightarrow{A} \times \overrightarrow{A}) - e(\overrightarrow{p} \times \overrightarrow{A} - \overrightarrow{A} \times \overrightarrow{p})$$

$$= -\frac{e\hbar}{i} (\nabla \times \overrightarrow{A} - \overrightarrow{A} \times \nabla) \equiv +ie\hbar \overrightarrow{B}$$
刊到了

$$(\nabla \times \overrightarrow{A} - \overrightarrow{A} \times \nabla) f(x) = (\nabla \times \overrightarrow{A}) f(x) = \overrightarrow{B} f(x)$$

其中用到了

$$(\nabla \times \overrightarrow{A} - \overrightarrow{A} \times \nabla)f(x) = (\nabla \times \overrightarrow{A})f(x) = \overrightarrow{B}f(x)$$

导出了自旋与磁场的耦合项:

旋与磁场的耦合项:
$$\frac{1}{2m}(p-eA)^2\psi_L - \frac{e\hbar}{2m}(\vec{\sigma} \cdot \vec{B})\psi_L = \varepsilon\psi_L$$
 近似下哈寧顿量

非相对论近似下哈密顿量

$$H_N = \frac{1}{2m} (p - eA)^2 - \vec{\mu} \cdot \vec{B}$$

其中

$$\vec{\mu} \equiv -\frac{\partial H}{\partial B} = \frac{e\hbar}{2m} \vec{\sigma} \equiv \frac{e}{m} \vec{S}$$

为自旋磁矩

例子:

$$B_z = B$$
, $B_x = 0$, $B_y = 0$

对称规范

$$B_{z} = B$$
, $B_{x} = 0$, $B_{y} = 0$
 $A_{y} = \frac{1}{2}B_{x}$, $A_{x} = -\frac{1}{2}B_{y}$, $A_{z} = 0$

自由电子运动方程

$$A_{y} = \frac{1}{2}B_{x}, \qquad A_{x} = -\frac{1}{2}B_{y}, \qquad A_{z} = 0$$

运动方程
$$H_{0} = \frac{1}{2m}(p - eA)^{2} \simeq \frac{p^{2}}{2m} - \frac{e}{m}(\overrightarrow{A} \cdot \overrightarrow{p})$$

$$= \frac{p^{2}}{2m} - \frac{e}{2m}B(xp_{y} - yp_{x})$$

$$= \frac{p^{2}}{2m} - \frac{e}{2m}\overrightarrow{L} \cdot \overrightarrow{B}$$
旋的旋磁比e/m比轨道的磁旋比大了一倍

自旋的旋磁比e/m比轨道的磁旋比大了一倍

4.5 自旋与电磁场中的带电粒子: 最低相对论修正

最低阶的相对论修正,保留到 c^2 阶

$$\psi_{S} = \frac{1}{2mc^{2} + E_{N} - e\varphi} c(\overrightarrow{\sigma} \cdot \overrightarrow{\pi}) \psi_{L}$$

$$\simeq \left(1 - \frac{E_{N} - e\varphi}{2mc^{2} + E_{N} - e\varphi}\right) \frac{1}{2mc^{2}} c(\overrightarrow{\sigma} \cdot \overrightarrow{\pi}) \psi_{L}$$

$$\simeq \left(1 - \frac{E_{N} - e\varphi}{2mc^{2}}\right) \frac{1}{2mc^{2}} c(\overrightarrow{\sigma} \cdot \overrightarrow{\pi}) \psi_{L}$$

$$\psi_{S} \cong \frac{1}{2mc} (\overrightarrow{\sigma} \cdot \overrightarrow{\pi}) \psi_{L} - \frac{1}{2mc} \left(\frac{E_{N} - e\varphi}{2mc^{2} + E_{N} - e\varphi} \right) (\overrightarrow{\sigma} \cdot \overrightarrow{\pi}) \psi_{L}$$

$$(E_N - e\varphi)\psi_L = \frac{1}{2m} (\overrightarrow{\sigma} \cdot \overrightarrow{\pi})^2 \psi_L$$



$$\varepsilon\psi_{L} = c(\overrightarrow{\sigma} \cdot \overrightarrow{\pi})\psi_{S} \cong c(\overrightarrow{\sigma} \cdot \overrightarrow{\pi}) \left(1 - \frac{\varepsilon}{2mc^{2}}\right) c(\overrightarrow{\sigma} \cdot \overrightarrow{\pi})\psi_{L}
\equiv c^{2}(\overrightarrow{\sigma} \cdot \overrightarrow{\pi}) \left(1 - \frac{\varepsilon}{2mc^{2}}\right) (\overrightarrow{\sigma} \cdot \overrightarrow{\pi})\psi_{L}
= c^{2}(\overrightarrow{\sigma} \cdot \overrightarrow{\pi}) (\overrightarrow{\sigma} \cdot \overrightarrow{\pi})\psi_{L} - \frac{\varepsilon}{2m} \overrightarrow{\sigma} \cdot \overrightarrow{\pi} \varepsilon \overrightarrow{\sigma} \cdot \overrightarrow{\pi} \psi_{L}$$

其中定义了 $\varepsilon(\varphi) = E_N - e\varphi$

对任何函数f

逐数
$$f$$

$$(\overrightarrow{\sigma} \cdot \overrightarrow{\pi})f = f(\overrightarrow{\sigma} \cdot \overrightarrow{\pi}) - ie\hbar f'(\varphi)(\overrightarrow{\sigma} \cdot \overrightarrow{E})$$

其中

$$\overrightarrow{E} = -\nabla \varphi$$

4.5 自旋与电磁场中的带电粒子
$$[\vec{\sigma} \cdot \vec{\pi}, e\varphi] = e\varphi \vec{\sigma} \cdot \vec{\pi} - \vec{\sigma} \cdot \vec{\pi} (e\varphi) = ie\hbar \vec{\sigma} \cdot \nabla \varphi$$

$$[p_x - eA_x, e\varphi] = -i\hbar e(-\frac{\partial \varphi}{\partial x} - \frac{\partial A_x}{\partial t}) = \frac{e\hbar}{i} E_x$$

最后有

后有
$$\frac{1}{2m} [(p-eA)^2 - e\hbar(\vec{\sigma} \cdot \vec{B})] \psi_L - \frac{e\hbar}{ic} \frac{1}{2m} \vec{E} [(p-eA) + i(p-eA) \times \vec{\sigma}] \psi_L = \varepsilon \psi_L$$

$$\left\{\frac{1}{2m}(p-eA)^{2} - \frac{e\hbar}{2m}(\vec{\sigma} \cdot \vec{B}) - \frac{p^{4}}{8m^{3}c^{2}} - \frac{e\hbar}{4m^{2}c^{2}} \left[\vec{\sigma} \cdot (\vec{E} \times \vec{p}) + \underbrace{\frac{e\hbar^{2}}{4m^{2}c^{2}}\vec{E} \cdot \nabla}_{*}\right]\right\}\psi_{L} = \varepsilon\psi_{L}$$

最后一项不依赖于自旋,在中心力场中,

$$\overrightarrow{E} = E \frac{\overrightarrow{r}}{r}$$

平行于
$$\vec{r}$$
,则第四项为自旋轨道耦合项
$$-\frac{e}{2m^2c^2}\frac{E}{r}(\vec{s}\cdot\vec{l}), \vec{l}=\vec{r}\times\vec{p}$$
它将给出超精细结构。

设自由电子满足狄拉克方程

$$i\hbar \frac{\partial}{\partial t} \psi = \hat{H}\psi$$
 $\hat{H} = c\alpha \cdot \hat{p} + mc^2\beta$ 平面波解为 $\psi_{p,E} = u(p) \mathrm{e}^{\mathrm{i}(p \cdot r - Et)/\hbar}$

$$\widehat{H} = c\alpha \cdot \hat{p} + mc^2\beta$$

平面波解为
$$\psi_{p,E} = u(p) \mathrm{e}^{\mathrm{i}(p \cdot r - Et)/\hbar}$$
 则有本征方程
$$(c\alpha \cdot \hat{p} + mc^2\beta)u = Eu$$

$$(c\alpha \cdot \hat{p} + mc^2\beta)u = Eu$$

设
$$u = \begin{bmatrix} u_1 \\ u_2 \\ u_3 \\ u_4 \end{bmatrix}$$
,并取电子动量的方向为 z 轴方向

则有本征方程的矩阵形式

$$\begin{bmatrix} 0 & 0 & cp & 0 \\ 0 & 0 & 0 & -cp \\ cp & 0 & 0 & 0 \\ 0 & -cp & 0 & 0 \end{bmatrix} \begin{bmatrix} u_1 \\ u_2 \\ u_3 \\ u_4 \end{bmatrix} + mc^2 \begin{bmatrix} 1 & 0 & 0 & 0 \\ 0 & 1 & 0 & 0 \\ 0 & 0 & -1 & 0 \\ 0 & 0 & 0 & -1 \end{bmatrix} \begin{bmatrix} u_1 \\ u_2 \\ u_3 \\ u_4 \end{bmatrix} = E \begin{bmatrix} u_1 \\ u_2 \\ u_3 \\ u_4 \end{bmatrix}$$

$$(mc^2 - E)u_1 + cpu_3 = 0$$
 a $u_1 = u_3$ 的联立方程组 $cpu_1 - (mc^2 + E)u_3 = 0$ b $u_1 = u_3$ 的联立方程组 $(mc^2 - E)u_2 - cpu_4 = 0$ c $u_2 = u_4$ 的联立方程组 $u_2 = u_4$ 的联立方程组

它们有解的必要条件为

$$\begin{vmatrix} mc^2 - E & cp \\ cp & -(mc^2 + E) \end{vmatrix} = 0$$

解出E的两个根为

$$E = E_{\pm} = \pm \sqrt{m^2 c^4 + c^2 p^2} = \pm |E|$$

$$\Rightarrow u_3 = \left[\frac{cp}{mc^2 + E_+}\right] u_1, \qquad u_4 = \left[\frac{-cp}{mc^2 + E_+}\right] u_2$$

选 $(\hat{p}, \hat{H}, \Sigma_z)$ 作为力学量完全集,求其共同本征态

即要求u也必须是 Σ_z 的本征态

$$\Sigma_{z} \begin{bmatrix} u_{1} \\ u_{2} \\ u_{3} \\ u_{4} \end{bmatrix} = \lambda \begin{bmatrix} u_{1} \\ u_{2} \\ u_{3} \\ u_{4} \end{bmatrix}$$

按照 $\Sigma_z^2 = 1$,可求出它的本征值是 $\lambda = \pm 1$,

 Σ_z 的矩阵表示为

$$\Sigma_{z} = \begin{pmatrix} \sigma_{z} & 0 \\ 0 & \sigma_{z} \end{pmatrix} = \begin{bmatrix} 1 & 0 & 0 & 0 \\ 0 & -1 & 0 & 0 \\ 0 & 0 & 1 & 0 \\ 0 & 0 & 0 & -1 \end{bmatrix}$$

代入
$$\Sigma_z$$
的本征方程,得
$$u_1=\lambda u_1, \quad -u_2=\lambda u_2, \quad u_3=\lambda u_3, \quad -u_4=\lambda u_4$$
 对于 $E=E_+$,有如下两组解
$$\lambda=+1(s_z=\hbar/2)$$

$$\lambda = +1(s_z = \hbar/2)$$

$$\lambda = -1(s_z = -\hbar/2)$$

即

$$\lambda = -1(s_z = -\hbar/2)$$

$$u^{(1)} \sim \begin{bmatrix} 1 \\ 0 \\ mc^2 + E_+ \\ 0 \end{bmatrix}, u^{(2)} \sim \begin{bmatrix} 0 \\ 1 \\ 0 \\ -cp \\ mc^2 + E_+ \end{bmatrix}$$

经过归一化,得

一化,得
$$u^{(1)} \sim N \begin{bmatrix} 1 \\ 0 \\ cp \\ mc^2 + E_+ \end{bmatrix}, u^{(2)} \sim N \begin{bmatrix} 0 \\ 1 \\ 0 \\ -cp \\ mc^2 + E_+ \end{bmatrix}$$

$$N = \left(1 + \frac{c^2 p^2}{(mc^2 + E_+)^2}\right)^{-1/2}$$
 得,是两个正能解。类似可求出两个负能解。

其中

$$N = \left(1 + \frac{c^2 p^2}{(mc^2 + E_+)^2}\right)^{-1/2}$$

以上所得,是两个正能解。类似可求出两个负能解。

动量(设沿z轴方向)值为p的电子的四个可能态归纳如下:

动量 (设沿z轴方向) 值为
$$p$$
的电子的四个可能态归纳如下:
$$u^{(1)} = N \begin{bmatrix} \frac{1}{0} \\ \frac{cp}{mc^2 + E_+} \\ 0 \end{bmatrix}, E = E_+, s_z = \hbar/2 \, (\uparrow), \qquad u^{(2)} = N \begin{bmatrix} 0 \\ 1 \\ 0 \\ -cp \\ mc^2 + E_+ \end{bmatrix}, E = E_+, s_z = \hbar/2 \, (\uparrow), \qquad u^{(4)} = N \begin{bmatrix} 0 \\ \frac{cp}{mc^2 + E_+} \\ 0 \\ 1 \end{bmatrix}, E = E_-, s_z = -\hbar/2 \, (\downarrow)$$
其中
$$N = \left(1 + \frac{c^2 p^2}{(mc^2 + |E|)^2}\right)^{-1/2}$$

$$u^{(1)}, u^{(2)} \in E$$

$$u^{(3)}, u^{(4)} \in D$$

$$u^{(3)}, u^{(4)} \in D$$

$$u^{(3)} = N \begin{bmatrix} \frac{-cp}{mc^2 - E_-} \\ 0 \\ 1 \\ 0 \end{bmatrix}, E = E_-, s_z = \hbar/2 \, (\uparrow), \qquad u^{(4)} = N \begin{bmatrix} 0 \\ cp \\ mc^2 - E_- \\ 0 \\ 1 \end{bmatrix}, E = E_-, s_z = -\hbar/2 \, (\downarrow)$$

$$N = \left(1 + \frac{c^2 p^2}{(mc^2 + |E|)^2}\right)^{-1/2}$$

在非相对论极限 $v/c \rightarrow 0$ 情况下,趋于

$$u^{(1)} = \begin{bmatrix} 1 \\ 0 \\ 0 \\ 0 \end{bmatrix}, \ u^{(2)} = \begin{bmatrix} 0 \\ 1 \\ 0 \\ 0 \end{bmatrix}, \ u^{(3)} = \begin{bmatrix} 0 \\ 0 \\ 1 \\ 0 \end{bmatrix}, \ u^{(4)} = \begin{bmatrix} 0 \\ 0 \\ 0 \\ 1 \end{bmatrix}$$

负能级的出现,是相对论量子力学的普遍困难,只有把波动方程解释为场方程是并进行量子化以后,才能克服这个困难。

为了加深对狄拉克方程的理解,现在把狄拉克方程应用于质量 为零的粒子,考虑中微子二分量理论的建立。

自旋
$$s = \hbar/2$$
,质量 $m = 0$

协变的中微子波动方程可表示为

$$\frac{1}{c}\frac{\partial}{\partial t}\phi_{\lambda} + \sum_{\mu}\sigma_{\lambda\mu} \cdot \frac{\partial}{\partial x}\phi_{\mu} = 0$$

把 ϕ_{λ} 写成列矢形式:

成列矢形式:
$$\frac{1}{c}\frac{\partial}{\partial t}\phi + \sum_{i=1}^{3}\sigma_{i}\cdot\frac{\partial}{\partial x_{i}}\phi = 0$$

按照狭义相对论中的能量动量关系式,m=0时有

$$E^2 = p^2 c^2$$

即

$$\left(-\hbar^2 \frac{\partial^2}{\partial t^2} + c^2 \hbar^2 \nabla^2\right) \phi = 0$$

$$\left(-\frac{1}{c^2} \frac{\partial^2}{\partial t^2} + \nabla^2\right) \phi = 0$$

或

$$\left(-\frac{1}{c^2}\frac{\partial^2}{\partial t^2} + \nabla^2\right)\phi = 0$$

上述方程是对波动方程中矩阵 $\sigma_i(i=x,y,z)$ 的限制。

用
$$\left(-\frac{1}{c}\frac{\partial}{\partial t} + \sum_{k} \sigma_{k} \frac{\partial}{\partial x_{k}}\right)$$
对波动方程进行运算,得到

$$\left(-\frac{1}{c^2}\frac{\partial^2}{\partial t^2} + \sum_{ki} \sigma_k \sigma_i \frac{\partial}{\partial x_k} \frac{\partial}{\partial x_i}\right) \phi = 0$$

经过对称化后,得

你化后,得
$$\left[-\frac{1}{c^2}\frac{\partial^2}{\partial t^2} + \frac{1}{2}\sum_{ki}(\sigma_i\sigma_k + \sigma_k\sigma_i)\frac{\partial}{\partial x_i}\frac{\partial}{\partial x_k}\right]\phi = 0$$

与方程

$$\left(-\frac{1}{c^2}\frac{\partial^2}{\partial t^2} + \nabla^2\right)\phi = 0$$

比较,可得出

では、
$$\left(-\frac{1}{c^2}\frac{\partial^2}{\partial t^2} + \nabla^2\right)\phi = 0$$
可得出
$$\frac{1}{2}(\sigma_i\sigma_k + \sigma_k\sigma_i) = \delta_{ik}$$

$$i, k = x, y, z$$

$$\sigma_x^2 = \sigma_y^2 = \sigma_z^2 = 1, \qquad \sigma_x\sigma_y = -\sigma_y\sigma_x, \dots$$

即

$$\sigma_x^2 = \sigma_y^2 = \sigma_z^2 = 1, \qquad \sigma_x \sigma_y = -\sigma_y \sigma_x, ...$$

这正是泡利矩阵所满足的关系式。因此, σ 可取为 2×2 矩 阵,通常就采用泡利矩阵的表示式。

几率守恒要求

重要求
$$\sigma_i^\dagger = \sigma_i, i = 1,2,3$$
 或 x,y,z E, 上述方程保证几案守恒。

可以验证,上述方程保证几率守恒。

可求出连续性方程

$$\frac{\partial}{\partial t}\rho + \nabla \cdot j = 0$$

其中

连续性方程
$$\frac{\partial}{\partial t}\rho + \nabla \cdot j = 0$$

$$\rho = \phi^{\dagger}\phi = \sum_{\lambda} \phi_{\lambda}^{*}\phi_{\lambda}$$

$$j = c\phi^{\dagger}\alpha\phi = c\sum_{\lambda,\mu} \phi_{\lambda}^{*}\sigma_{\lambda\mu}\phi_{\mu}$$

与狄拉克方程有所不同,由于中微子静质量为零,在波动 方程中只出现三个彼此反对易的矩阵,波动方程还常写成

$$\frac{1}{c}\frac{\partial}{\partial t}\phi = -\sigma \cdot \frac{\partial}{\partial x}\phi$$

或

$$i\hbar \frac{\partial}{\partial t}\phi = \widehat{H}\phi$$

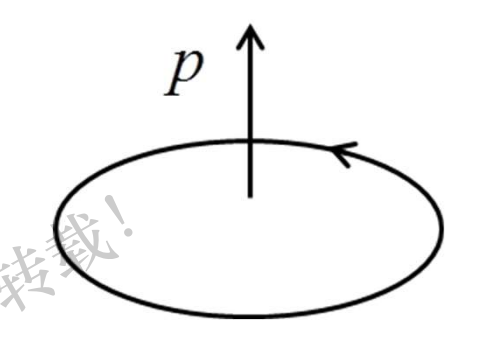
呈中只出现三个彼此反对易的

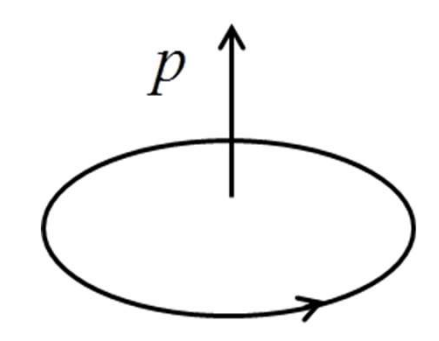
$$\frac{1}{c}\frac{\partial}{\partial t}\phi = -\sigma \cdot \frac{\partial}{\partial x}\phi$$

$$i\hbar \frac{\partial}{\partial t}\phi = \hat{H}\phi$$

$$\hat{H} = -i\hbar c\sigma \cdot \frac{\partial}{\partial x} = c\sigma \cdot \hat{p}$$

这就是静质量m=0,自旋s=1/2的 粒子满足的二分量波动方程。





讨论

1. 显然 $[\hat{p}, \hat{H}] = 0$,所以动量p是守恒量。

2. 由 $[\sigma \cdot \hat{p}, \hat{H}] = 0$,所以 $\sigma \cdot \hat{p}$ 是守恒量, $\sigma \cdot \hat{p}/|p|$ 也是守恒量,即 σ 沿动量方向p的投影是守恒量。

考虑到 $(\overrightarrow{\sigma} \cdot \overrightarrow{A})(\overrightarrow{\sigma} \cdot \overrightarrow{B}) = \overrightarrow{A} \cdot \overrightarrow{B}/|A||B|$,即

$$\frac{\sigma \cdot p}{|p|} \frac{\sigma \cdot p}{|p|} = 1$$

$$\frac{\sigma \cdot p}{|p|} = \pm 1$$

所以
$$\frac{\sigma \cdot p}{|p|} = 1$$

其中
$$\sigma \cdot p/|p| = +1$$

为若旋粒子态
$$\sigma \cdot p/|p| = -1$$

为左旋粒子态

$$\sigma \cdot p/|p| = -1$$
为左旋粒子态

练习题

与电子相似,证明

$$[\hat{l}, \hat{H}] = i\hbar c\sigma \times \hat{p} \neq 0$$

 $[\hat{l}, \hat{H}] = i\hbar c\sigma \times \hat{p} \neq 0$ 这说明轨道角动量不是守恒量。再证明

$$\frac{\hbar}{2}[\sigma,\widehat{H}] = -i\hbar c\sigma \times \widehat{p}$$

$$\Leftrightarrow \widehat{s} = \frac{\hbar}{2}\sigma, \quad \widehat{j} = \widehat{l} + \widehat{s}$$

$$\hat{\Rightarrow} \hat{s} = \frac{\hbar}{2} \sigma, \quad \hat{j} = \hat{l} + \hat{s}$$

则

$$[j,\widehat{H}] = 0$$

ŝ称为中微子自旋算符, j是总角动量。

上式表明总角动量是守恒量。

4.7 费米子二次量子化应用:超导的BCS理论

金属电子的凝胶模型

晶体中相互作用电子的有效哈密顿量

$$\widehat{H} = -\sum_{i=1}^{N} \frac{\hbar^2}{2m} \nabla_i^2 + \sum_{i \neq j} \frac{e^2}{|r_i - r_j|} + H_+$$

 H_{+} 抹平了晶格正离子形成的正点背景哈密顿量

$$\frac{e}{r} = \sum_{q} v(q)e^{iq\overrightarrow{r}}, \qquad v(q) = \frac{4\pi e^2}{q^2}$$

子了晶格正离子形成的正点背景哈密顿量
$$\frac{e}{r} = \sum_{q} v(q)e^{iq\vec{r}}, \quad v(q) = \frac{4\pi e^2}{q^2}$$

$$\widehat{H} = -\sum_{i=1}^{N} \frac{\hbar^2 \nabla_i^2}{2m_i} + \frac{1}{2} \sum_{q} \sum_{i \neq j} v(q)e^{iq(\vec{r}_i - \vec{r}_j)} + H_+$$

金属电子的凝胶模型

电子密度算子

$$ho(\overrightarrow{r}) = \sum_{j} \delta(r - r_{j}) = \sum_{q} \sum_{j} e^{iq(\overrightarrow{r}_{i} - \overrightarrow{r}_{j})} \equiv \sum_{q} \rho_{q} e^{iqr},$$

$$ho_{q} = \sum_{j} e^{-i\overrightarrow{q} \cdot \overrightarrow{r}_{j}}$$

$$\widehat{H} = -\sum_{i=1}^{N} \frac{\hbar^2}{2m} \nabla_i^2 + \frac{1}{2} \sum_{q} v(q) (\rho_q^* \rho_q - N) - \frac{1}{2} v(q) N = \frac{1}{2} \sum_{q} v(q) \rho_q^* \rho_q$$

q = 0项是均匀分布电子的自作用能《抵消H)

$$\frac{e^2}{r} = \sum_{q} v(q)e^{iqr} = \sum_{q=0}^{N} v(q=0) + \sum_{q\neq 0}^{N} v(q\neq 0) e^{iqr}$$

$$\hat{H} = -\sum_{i=1}^{N} \frac{\hbar^2}{2m} \nabla_i^2 + \frac{1}{2} \sum_{q\neq 0}^{N} v(q) (\rho_q^{\dagger} \rho_q - N)$$

$$\hat{H} = -\sum_{i=1}^{N} \frac{\hbar^2}{2m} \nabla_i^2 + \frac{1}{2} \sum_{q \neq 0} v(q) (\rho_q^{\dagger} \rho_q - N)$$

金属电子的凝胶模型

$$\rho(\overrightarrow{r}) = \int \psi^{\dagger}(r)\delta(r - r')\psi(\overrightarrow{r}) = \psi^{\dagger}(\overrightarrow{r}, t)\psi(\overrightarrow{r})$$

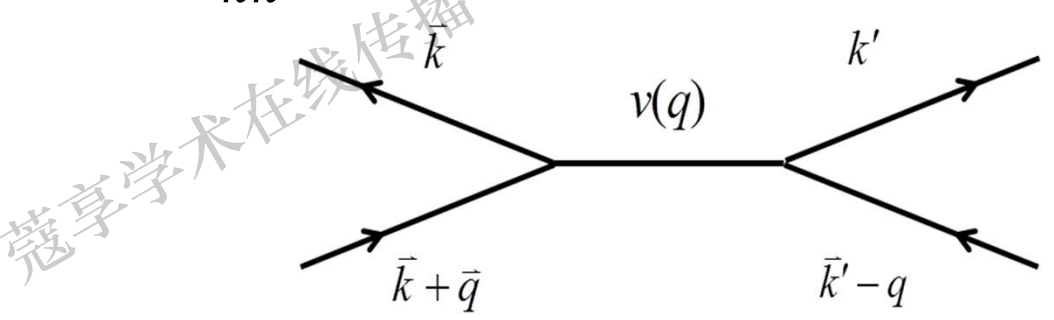
$$= \sum_{kk'} C_k^{\dagger} C_{k'} e^{-i(\overrightarrow{k} - \overrightarrow{k}') \cdot \overrightarrow{r}} = \sum_{kq} C_k^{\dagger} C_{k+q} e^{iqr}$$

$$\overrightarrow{q} = \overrightarrow{k} - \overrightarrow{k}'$$

$$\rho_q = \sum_k C_{k-q}^{\dagger} C_k$$

$$\rho_q = \sum_k C_{k-q}^{\dagger} C_k$$

$$\widehat{H} = \sum_{k} E_k C_k^{\dagger} C_k + \frac{1}{2} \sum_{kk'} v(q) C_{k+q}^{\dagger} C_{k'-q}^{\dagger} C_{k'} C_k$$



电声子相互作用

离子固定时, 电子与晶格的作用为

与晶格的作用为
$$H_e^0 = \sum_{jl} V(\vec{r}_i - \vec{l})$$
左放长上偏变式 相互

离子有小振动时,在诸格点上偏离证,相互作用能为

$$H_e = \sum_{jl} V(\overrightarrow{r}_j - \overrightarrow{l} - \overrightarrow{u}_l)$$
作用能为

电声子作用能为
$$H_{ep} = H_{e} - H_{e}^{0} = \sum_{jl} \{V(\overrightarrow{r}_{j} - \overrightarrow{l} - \overrightarrow{u}_{l}) - V(\overrightarrow{r}_{i} - \overrightarrow{l})\}$$

$$= \sum_{jl} \overrightarrow{u}_{l} \cdot \nabla V(\overrightarrow{r}_{j} - \overrightarrow{l}) \equiv \sum_{jl} h(r_{i})$$
单体势

$$=\sum_{il} \overrightarrow{u}_l \cdot \nabla V(\overrightarrow{r}_j - \overrightarrow{l}) \equiv \sum_{il} h(r_i)$$

$$h(r) = -\sum_{l} u_{l} \cdot \nabla V(\overrightarrow{r} - \overrightarrow{l})$$

电声作用二次量子化表达

作用二次量子化表达
$$H_{ep} = \sum_{k,k'} \langle k|h(r)|k'\rangle = -\sum_{l} \sum_{kk'} \vec{u}_{l} \cdot \langle \vec{k'} |\nabla V(\vec{r} - \vec{l})|k\rangle C_{k}^{\dagger} C_{k}$$
 =晶格振动模相当于谐振子

声子=晶格振动模相当于谐振子

$$u_{l} \sim \sqrt{\frac{\hbar}{\omega_{l}}} \left(a_{l} + a_{l}^{\dagger} \right) \dots$$

$$H_{ep} = \sum_{kq} D_{q} a_{q} C_{k+q}^{\dagger} C_{k} + D_{q}^{*} a_{q}^{\dagger} C_{k-q}^{\dagger} C_{k}$$

$$H_{ep} = \sum_{kq} D_q a_q C_{k+q}^{\dagger} C_k + D_q^* a_q^{\dagger} C_{k-q}^{\dagger} C_k$$

有效电子一电子相互作用

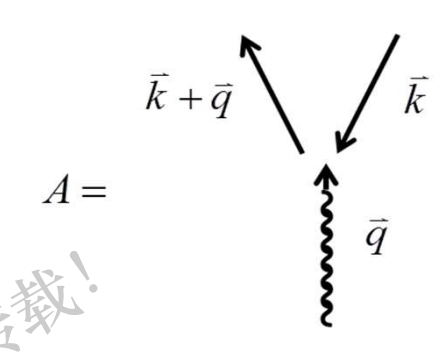
$$H_{eff} = \widehat{H}$$

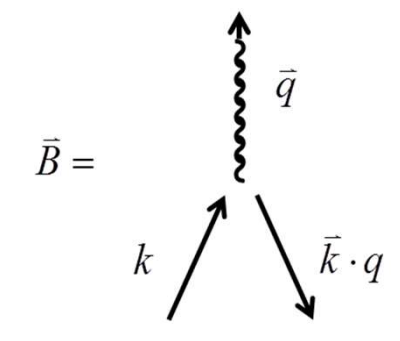
任务: 平均掉声子自由度, 得到电子一电子有效作用。

Frohlich正则变换方法:

Frohlich正则变换方法:
$$H = H_0 + H_1: \begin{cases} H_0 = \sum_{q} \hbar \omega_q a_q^{\dagger} a_q + \sum_{k} \epsilon_k C_k^{\dagger} C_k \\ H_1 = H_{ep} = \sum_{kq} D_q a_q C_{k+q}^{\dagger} C_k + D_q^* a_q^{\dagger} C_{k-q}^{\dagger} C_k \end{cases}$$
 吸机

$$H \to H_S = e^{-S} H e^S$$





电子空穴对复合产生声子

不改变H的"物理":能谱结构

设 $S和H_1$ 同阶量,

$$H_S = e^{-\lambda S} H e^{\lambda S}, H = H_0 + \lambda H_1$$

则

$$H_S = H + [H, S] + \frac{1}{2}[[HS], S]$$

$$= H_0 + \lambda([H_0, S] + H_1) + \frac{1}{2}\lambda^2[(H_1 + [H_0, S]), S] + \frac{1}{2}\lambda^2[H_1, S]$$

到二阶近似:选S使

$$[H_0, S] + H_1 = 0$$

⇒确定S

$$\langle m|[H_0,S]|n\rangle = (E_m - E_n)\langle m|S|n\rangle = -\langle m|H_1|n\rangle$$

$$H_0|m\rangle = E_m|m\rangle$$

$$\Rightarrow \langle m|S|n\rangle = \frac{\langle m|H_1|n\rangle}{E_n - E_m}$$

$$H_{0}|m\rangle = E_{m}|m\rangle$$

$$\Rightarrow \langle m|S|n\rangle = \frac{\langle m|H_{1}|n\rangle}{E_{n} - E_{m}}$$

$$|n\rangle = \prod_{k} C_{k}^{\dagger}|0\rangle \otimes \prod_{\alpha} |n_{\alpha}\rangle \equiv C_{k}^{\dagger}|0\rangle \otimes |a_{q}^{\dagger}\rangle \otimes |0\rangle$$

$$E_{n} = (\epsilon_{k} + \hbar\omega_{q})$$

$$|m\rangle = C_{k+q}^{\dagger}|0\rangle \otimes |0\rangle$$

$$E_{m} = \epsilon_{k+q}$$

其中

$$E_n = (\epsilon_k + \hbar \omega_q)$$

$$|m\rangle = C_{k+q}^{\dagger} |0\rangle \otimes |0\rangle$$

$$E_m = \epsilon_{k+q}$$

H_1 只使声子数改变1

$$A_q = \frac{D_q}{\epsilon_k + \hbar \omega_q - \epsilon_{k+q}}, \qquad B_q = \frac{D_q^*}{\epsilon_k - \epsilon_{k-q} - \hbar \epsilon_q}$$

只使声子数改变1
$$A_{q} = \frac{D_{q}}{\epsilon_{k} + \hbar\omega_{q} - \epsilon_{k+q}}, \quad B_{q} = \frac{D_{q}^{*}}{\epsilon_{k} - \epsilon_{k-q} - \hbar\omega_{q}}$$

$$\begin{cases} |m\rangle = C_{k-q}^{\dagger} \times a_{q}^{\dagger} \\ |n\rangle = C_{k}^{\dagger} \\ E_{n} = \epsilon_{k} \\ E_{m} = \epsilon_{k-q} + \hbar\omega_{q} \end{cases}$$

这时

$$S = \sum_{k,q} (A_q a_q C_{k+q}^{\dagger} C_k + B_q a_q^{\dagger} C_{k-q}^{\dagger} C_k)$$

满足[H₀,S] + H₁ = 0

只考虑声子部分从真空态到真空态的跃迁
$$H = H_0 + \frac{1}{2}[H_1, S]$$

$$H_{\mathrm{eff}} = \langle 0|\frac{1}{2}[H_1, S]|0\rangle = \frac{1}{2}\sum_q \{\langle 0|H_1|I_q\rangle\langle I_q|S|0\rangle - \langle 0|S|I_q\rangle\langle I_q|H_1|0\rangle\}$$

$$\langle 0|H_1|I_q\rangle = \sum_k D_q C_{k+q}^\dagger C_k$$

$$\langle I_q|H_1|0\rangle = \sum_k D_q C_{k-q}^\dagger C_k$$

$$\langle I_q|S|0\rangle = \sum_k \frac{D_q^*}{\epsilon_k - \epsilon_{k-q} - \hbar\omega_q} C_{k-q}^\dagger C_k$$

$$\langle 0|S|I_q\rangle = \sum_k \frac{D_q}{\epsilon_k - \epsilon_{k+q} + \hbar\omega_q} C_{k+q}^\dagger C_k$$

$$\langle I_q | S | 0 \rangle = \sum_{k} \frac{D_q^*}{\epsilon_k - \epsilon_{k-q} - \hbar \omega_q} C_{k-q}^{\dagger} C_k$$

$$\langle 0|S|I_q\rangle = \sum_{k} \frac{D_q}{\epsilon_k - \epsilon_{k+q} + \hbar\omega_q} C_{k+q}^{\dagger} C_k$$

要求 $q \mapsto -q$ 对称性,则

要求
$$q \mapsto -q$$
对称性,则
$$H_{\mathrm{eff}} = \frac{1}{2} \sum_{k,k',q} |D_q|^2 \frac{2\hbar\omega_q}{\left(\epsilon_k - \epsilon_{k+q}\right)^2 - \left(\hbar\omega_q\right)^2} C_{k+q}^\dagger C_{k'-q}^\dagger C_{k'} C_k$$

$$H_{eff} \equiv \frac{1}{2} \sum_{k_1 k_2 q} V_{k_1 q} C_{k_1 + q}^\dagger C_{k_2 - q}^\dagger C_{k_2} C_{k_1}$$
 电子间的库伦作用

$$H_{eff} \equiv \frac{1}{2} \sum_{k_1 k_2 q} V_{k_1 q} C_{k_1 + q}^{\dagger} C_{k_2 - q}^{\dagger} C_{k_2} C_{k_1}$$

电子间的库伦作用
$$H_{coul} = \frac{1}{2} \sum_{k_1 k_2 q} \frac{4\pi e^2}{q^2 + \lambda^2} C_{k_1 + q}^{\dagger} C_{k_2 - q}^{\dagger} C_{k_2} C_{k_1}$$
 当 $|\epsilon_k - \epsilon_{k+q}| < \hbar \omega_q$, $V_{k_1 q} < 0$ 为吸引力作用。若吸引作用 超过库伦斥力作用 $\frac{4\pi e^2}{q^2 + \lambda^2}$,则产生电子间的吸引。

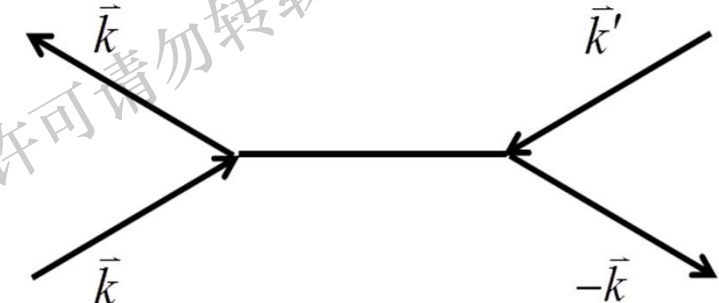
在费米面附近,净吸引势 $V_{k,q}+\frac{4\pi e^2}{q^2+\lambda^2}$ 用常数代替,设为-V。

BCS有效哈密顿

$$\overline{H} = \sum_{k} \epsilon_{k} \left(C_{k}^{\dagger} C_{k} + C_{-k}^{\dagger} C_{-k} \right) - V \sum_{kk'} C_{k'}^{\dagger} C_{-k'}^{\dagger} C_{-k} C_{k}$$

动量为k和-k的电子成对产生或成对地消失

$$\epsilon_k = E_k - E_F$$
 $|v\rangle = \text{vaccum state, } C_R |v\rangle = 0$



设
$$|0\rangle = \prod_{k=1}^{N} \left(u_k + v_k C_k^{\dagger} C_{-k}^{\dagger}\right) |v\rangle$$
为BCS基态,

为求 \overline{H} 基态,把 \overline{H} 化为二次型:基态上,对算子平均值为

$$\begin{cases} \langle C_k^{\dagger} C_{-k}^{\dagger} \rangle \equiv \langle 0 | C_k^{\dagger} C_{-k}^{\dagger} | 0 \rangle \neq 0 \\ \langle C_{-k} C_k \rangle \equiv \langle 0 | C_{-k} C_k | 0 \rangle \neq 0 \end{cases}$$

利用在对算了附近的偏差

近的偏差
$$\delta = C_{-k}C_{-k} - C_{-k}C_k$$
 $\delta'\delta''\delta' = C_k^{\dagger}C_k^{\dagger} - k$ +

作为微扰子量,作III并记

$$\Delta = V \sum_{k} \langle C_{-k} C_{k} \rangle \sum_{k} \langle C_{-k} C_{k} \rangle \dagger C - k \dagger = \Delta$$

则在一级近似下,
$$\overline{H}$$
为二次型
$$\overline{H}\cong\sum_{k}\epsilon_{k}(C_{k}^{\dagger}C_{k}+C_{-k}^{\dagger}C_{-k})-\Delta\sum_{k}(C_{k}^{\dagger}C_{-k}^{\dagger}+C_{-k}C_{k})+\Delta^{2}/V$$
 利用Bogo linbov变换对角化 \overline{H} : 令
$$\left(\alpha_{k}^{\dagger}=u_{k}C_{k}^{\dagger}+v_{-k}C_{-k}\right)$$

$$\alpha_{k} = u_{k}C_{k} + v_{-k}C_{-k}^{\dagger} \Rightarrow \begin{cases} \alpha_{k}^{\dagger} = u_{k}C_{k}^{\dagger} + v_{-k}C_{-k} \\ \alpha_{-k} = u_{-k}C_{-k} + v_{k}C_{k}^{\dagger} \end{cases} (\Delta)$$

$$\alpha_{-k}^{\dagger} = u_{-k}C_{-k}^{\dagger} + v_{k}C_{k}$$

$$\{\alpha_{k}, \alpha_{k'}^{\dagger}\} = u_{k}u_{k'}\{C_{k}, C_{k'}^{\dagger}\} + v_{-k}v_{-k'}\{C_{-k}^{\dagger}, C_{-k}\}$$

$$= \delta_{kk'}(u_{k}^{2} + v_{-k}^{2})$$

$$\{\alpha_{k}, \alpha_{k'}\} = \delta_{kk'}(u_{k}v_{k} + u_{-k}v_{-k})$$

$$\{\alpha_{k}, \alpha_{k'}\} = \delta_{kk'} (u_{k}v_{k} + u_{-k}v_{-k})$$

我们取特解

$$\begin{cases} u_k = u_{-k} \\ v_k = -v_{-k} \end{cases} \quad v_k^2 + u_k^2 = 1$$

$$\begin{cases} v_k = -v_{-k} \\ v_k^2 + u_k^2 = 1 \end{cases}$$
(Δ)的逆变换
$$\begin{aligned} C_k &= u_k \alpha_k + v_k \alpha_{-k}^{\dagger} \Rightarrow \begin{cases} C_k^{\dagger} = u_k \alpha_k^{\dagger} + v_k \alpha_{-k} \\ C_{-k} &= u_k \alpha_{-k} - v_k \alpha_k^{\dagger} \\ C_{-k}^{\dagger} &= u_k \alpha_{-k}^{\dagger} - v_k \alpha_k \end{cases}$$
代入 \overline{H} 得
$$\overline{H}_0 &= \sum_k [2\epsilon_k v_k^2 - 2u_k v_k \Delta] + \frac{\Delta^2}{V} + \sum_k \{[\epsilon_k (u_k^2 - v_k^2) + 2\Delta u_k v_k](\alpha_k^{\dagger} \alpha_k + \alpha_k^{\dagger}, \alpha_{-k}) + [2\epsilon_k u_k v_k - \Delta (u_k^2 - v_k^2)](\alpha_k^{\dagger} \alpha_k^{\dagger}, + \alpha_k^{\dagger}, \alpha_{-k}) + [2\epsilon_k u_k v_k - \Delta (u_k^2 - v_k^2)](\alpha_k^{\dagger} \alpha_k^{\dagger}, + \alpha_k^{\dagger}, \alpha_{-k}) + [2\epsilon_k u_k v_k - \Delta (u_k^2 - v_k^2)](\alpha_k^{\dagger} \alpha_k^{\dagger}, + \alpha_k^{\dagger}, \alpha_{-k}) \end{cases}$$

$$\overline{H}_0 = \sum_{k} \left[2\epsilon_k v_k^2 - 2u_k v_k \Delta \right] + \frac{\Delta^2}{V} +$$

$$\sum_{k} \left\{ \left[\epsilon_{k} (u_{k}^{2} - v_{k}^{2}) + 2\Delta u_{k} v_{k} \right] \left(\alpha_{k}^{\dagger} \alpha_{k} + \alpha_{-k}^{\dagger} \alpha_{-k} \right) + \left[2\epsilon_{k} u_{k} v_{k} - \Delta (u_{k}^{2} - v_{k}^{2}) \right] \left(\alpha_{k}^{\dagger} \alpha_{-k}^{\dagger} + \alpha_{-k} \alpha_{k} \right) \right\}$$

令对角项为0, $\Delta(u_k^2 - v_k^2) = 2\epsilon_k u_k v_k$ 由上式和 $v_k^2 + u_k^2 = 1$ 消除 v_k

$$(u_k^2)^2 - (u_k^2) + \frac{1}{4} \frac{\Delta^2}{\xi_k^2} = 0$$

$$\xi_k = \sqrt{\epsilon_k^2 + \Delta^2} \quad (\epsilon_k = E_k - E_F)$$

上式和
$$v_k^2 + u_k^2 = 1$$
消除 v_k

$$(u_k^2)^2 - (u_k^2) + \frac{1}{4} \frac{\Delta^2}{\xi_k^2} = 0$$

$$\xi_k = \sqrt{\epsilon_k^2 + \Delta^2} \quad (\epsilon_k = E_k - E_F)$$

$$u_k^2 = \frac{1}{2} \left(1 \pm \frac{\epsilon_k}{\xi_k} \right) \quad v_k^2 = \frac{1}{2} \left(1 \mp \frac{\epsilon_k}{\xi_k} \right) \quad (有两组解)$$

取

$$u_k^2 = \frac{1}{2} \left(1 + \frac{\epsilon_k}{\xi_k} \right), \quad v_k^2 = \frac{1}{2} \left(1 - \frac{\epsilon_k}{\xi_k} \right)$$

则在 $\Delta = 0$ 时给出合理结果

$$u_{k} = \frac{1}{2} (1 + \frac{\epsilon_{k}}{|\epsilon_{k}|}) = \begin{cases} 1, & k > k_{F}(E_{k} > K_{F} |\epsilon_{k}| = \epsilon_{k} > 0) & A \\ 0, & k < k_{F}(E_{k} < K_{F} |\epsilon_{k}| = -\epsilon_{k} > 0) & B \end{cases}$$

$$|\epsilon_k|^2 = \left(0, \kappa < \kappa_F(E_k < \kappa_F | \epsilon_k)\right) = \begin{cases} 0, k > k_F \\ 1, k < k_F \end{cases}$$

此时

$$\alpha_k^\dagger = u_k C_k^\dagger - v_k C_{-k} = \begin{cases} C_k^\dagger \ (k > k_F) \\ C_{-k} \ (k < k_F) \end{cases}$$
 α_k 和 α_k^\dagger 是描述正常电子态与空穴激发的统一算子。 $\Delta \neq 0$

时, α_k 代表电子和空穴的混合

$$\epsilon_{k}(u_{k}^{2} - v_{k}^{2}) + 2\Delta u_{k}v_{k} = \sqrt{\epsilon_{k}^{2} + \Delta^{2}} = \xi_{k}$$

$$\begin{cases}
\overline{H} = E_{S}(0) + \sum_{k} \sqrt{\epsilon_{k}^{2} + \Delta^{2}} (\alpha_{k}^{\dagger} \alpha_{k} + \alpha_{-k}^{\dagger} \alpha_{-k}) \\
E_{S}(0) = 2 \sum_{k} \epsilon_{k}^{2} v_{k}^{2} - 2\Delta \sum_{k} u_{k} v_{k} + \frac{\Delta^{2}}{V}
\end{cases}$$

 $\xi_k = \sqrt{\epsilon_k^2 + \Delta^2}$ 代表元激发能量,存在能隙\(\Delta\), \(\Delta\) 是从 费米面激发一准粒子能量

BCS基态
$$|0\rangle$$
,满足 $\alpha_k|0\rangle = \alpha_{-k}|0\rangle = 0$

$$|0\rangle \sim \prod_{k} \alpha_{k} \alpha_{-k} |v\rangle \Leftarrow \begin{cases} \alpha_{k} \alpha_{k} = 0 \\ \alpha_{-k} \alpha_{-k} = 0 \end{cases}$$

$$|0\rangle \sim \prod_{k} (u_{k}C_{k} - v_{k}C_{-k}^{\dagger})(u_{k}C_{k} + v_{k}C_{k}^{\dagger})|v\rangle$$

$$= \prod_{k} (u_{k}v_{k}C_{k}C_{k}^{\dagger} - v_{k}^{2}C_{-k}^{\dagger}C_{k}^{\dagger})|v\rangle$$

$$= \prod (u_k v_k C_k C_k^{\dagger} - v_k^2 C_{-k}^{\dagger} C_k^{\dagger}) |v\rangle$$

$$= \prod_{k} (u_k v_k c_k c_k - v_k c_{-k} c_k)$$

$$= \prod_{k} (u_k v_k + v_k^2 C_{-k}^{\dagger} C_k^{\dagger}) |v\rangle$$

$$\Delta = 0 \qquad v_k = \begin{cases} 0, \ k > k_F \\ 1, \ k < k_F \end{cases} u_k v_k = 0$$

$$|F\rangle = \prod_{k < k_F} C_k^{\dagger} C_{-k}^{\dagger} |v\rangle$$

$$|F\rangle = \prod_{k < k_F} C_k^{\dagger} C_{-k}^{\dagger} |v\rangle$$
是正常的费米球分布。 归一化:
$$\langle v| \prod_k (u_k v_k + v_k^2 C_{-k} C_k) (u_k v_k + v_k^2 C_k^{\dagger} C_{-k}^{\dagger}) |v\rangle$$

$$= \langle v| \prod_k (u_k^2 v_k^2 + v_k^4 C_{-k} C_k C_k^{\dagger} C_{-k}^{\dagger}) |v\rangle$$

$$= \prod_k (u_k^2 v_k^2 + v_k^4)$$

$$= \prod_k v_k^2$$

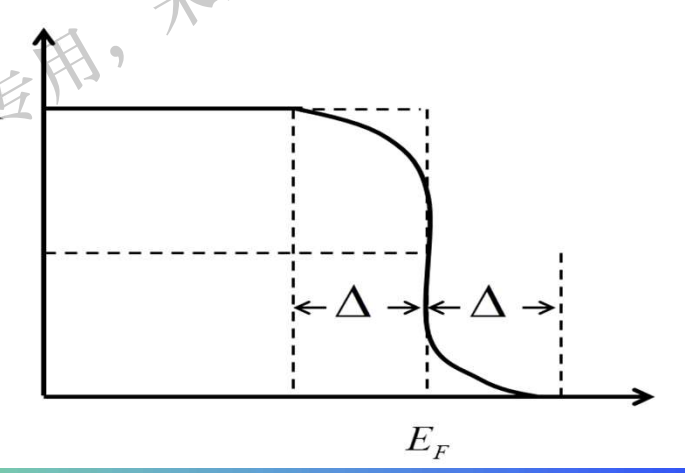
BCS起导理论初阶
$$v_k^2 + u_k^2 = 1$$

$$|0\rangle = \frac{1}{(\prod v_k)} \prod_k (u_k v_k + v_k^2 C_k^{\dagger} C_{-k}^{\dagger})|0\rangle$$

$$= \prod_k (u_k + v_k C_k^{\dagger} C_{-k}^{\dagger})|v\rangle$$
电子态平均数
$$\langle 0|C_k^{\dagger} C_k|0\rangle = v^2 = \frac{1}{2} \{1 - \frac{(E_k - E_F)}{2}\}$$

平均数
$$\langle 0|C_k^{\dagger}C_k|0\rangle = v^2 = \frac{1}{2} \left\{ 1 - \frac{(E_k - E_F)}{\sqrt{(E_k - E_F)^2 + \Delta^2}} \right\}$$

超导金属中电子分布:



零温能隙方程

$$1 = \frac{1}{2}V\sum_{k} \frac{1}{\sqrt{\epsilon_k^2 + \Delta^2}}$$

取费米面处的态密度
$$g(0)$$
近似地作为吸引区态密度
$$1 = Vg(0) \int_0^{\hbar\omega_p} \frac{d\epsilon}{\sqrt{\epsilon^2 + \Delta^2}}$$

$$\Delta = \frac{\hbar\omega_0}{\sinh\left(\frac{1}{g(0)V}\right)} \simeq 2\hbar\omega_0 e^{-\frac{1}{g(0)V}} \quad (g(0)V \ll 1)$$
 金属元素

が表
$$g(0)V = 0.2 \sim 0.3$$
, $\hbar \omega_p = 10^{-2} \text{eV}$, $\Delta = 10^{-4} \text{eV}$

能隙Δ的计算: (II)有限温度情况

$$\Delta(T) = V \sum_{k} \langle C_{-k} C_{k} \rangle_{T}$$

$$= V \sum_{k} \langle (u_{k} \alpha_{-k} - v_{k} \alpha_{k}^{\dagger}) (u_{k} \alpha_{k} + v_{k} \alpha_{-k}^{\dagger}) \rangle_{T}$$

$$= V \sum_{k} u_{k} v_{k} (\langle \alpha_{-k} \alpha_{-k}^{\dagger} \rangle_{T} - \langle \alpha_{k}^{\dagger} \alpha_{k} \rangle_{T})$$

$$= V \sum_{k} u_{k} v_{k} (1 - \langle \alpha_{k}^{\dagger} \alpha_{k} \rangle_{T} - \langle \alpha_{-k}^{\dagger} \alpha_{-k} \rangle_{T})$$

$$\langle \alpha_{k}^{\dagger} \alpha_{k} \rangle_{T} = \langle \alpha_{-k}^{\dagger} \alpha_{-k} \rangle_{T} = \frac{1}{e^{\frac{\xi_{k}}{k_{B}T}} + 1} = f(\xi_{k}) \quad (费米子分布)$$

能隙方程
$$\Delta(T) = V \sum_{k} u_{k} (\Delta(T)) v_{k} (\Delta(T)) \{1 - 2f(\xi_{k})\}$$

$$\xi_{k} = \sqrt{\epsilon_{k}^{2} + \Delta^{2}(T)}, \qquad u_{k} = \frac{1}{2} \left(1 + \frac{\epsilon_{k}}{\sqrt{\epsilon_{k}^{2} + \Delta^{2}(T)}}\right)$$

$$v_{k} = \frac{1}{2} \left(1 - \frac{\epsilon_{k}}{\sqrt{\epsilon_{k}^{2} + \Delta^{2}(T)}}\right), \qquad 1 = \frac{1}{2} V \sum_{k} \frac{\tanh\left(\frac{1}{2}\beta\xi_{k}\right)}{\xi_{k}}$$

$$\beta = \frac{1}{k_{B}T}$$

$$\Delta(T) \to 0$$
, $\xi_k \to |\epsilon_k|$

$$\Delta(T_c)=0$$

要米面模糊化
$$\Delta(T) \to 0, \qquad \xi_k \to |\epsilon_k|$$
 超导态变成正常金属态。
$$\Delta(T_c) = 0$$

$$1 = g(0)V \int_0^{\hbar\omega_p} d\epsilon \frac{\tanh\left(\frac{1}{2}\beta_c\epsilon\right)}{\epsilon}$$

Euler积分

$$1 = g(0)V \ln \left[\left(\frac{2e\gamma}{\pi} \right) \left(\frac{\hbar \omega_p}{k_B T_c} \right) \right] \qquad \gamma = 0.5772$$

$$k_B T_c \simeq 1.13 \hbar \omega_p \exp\left[-\frac{1}{g(0)V}\right]$$

$$k_B T_c \simeq 1.13 \hbar \omega_p \exp\left[-\frac{1}{g(0)V}\right]$$
 $\frac{\Delta(0)}{k_B T_c} \simeq \pi e^{-\gamma} = 1.76$ (与材料特性无关)

抗磁电流

元磁电流
$$\overrightarrow{J}_{2}(\overrightarrow{r}) = -\frac{e^{2}}{mc}\Psi^{\dagger}A\Psi$$
$$= -\frac{e^{2}}{mc}\overrightarrow{A}(\overrightarrow{r})\sum_{kq}e^{-iq\cdot\overrightarrow{r}}(C_{k+q}^{\dagger}C_{k} + C_{-k}^{\dagger}C_{-k-q})$$

零温超导基态平均值

$$\overrightarrow{J}_{2}(\overrightarrow{r}) = \langle \widehat{\overrightarrow{J}}_{2}(\overrightarrow{r}) \rangle_{0}$$

$$= -\frac{e^2}{mc} A(r) \sum_{kq} \langle 0 | C_{k+q}^{\dagger} C_k + C_{-k}^{\dagger} C_{-k-q} | 0 \rangle$$

$$\langle 0|C_k^{\dagger}C_k|0\rangle = v_k^2 = \langle 0|C_k^{\dagger}C_{-k}|0\rangle$$

零温超导基态平均值
$$\vec{J}_{2}(\vec{r}) = \langle \hat{\vec{J}}_{2}(\vec{r}) \rangle_{0}$$

$$= -\frac{e^{2}}{mc}A(r)\sum_{kq}\langle 0|C_{k+q}^{\dagger}C_{k} + C_{-k}^{\dagger}C_{-k-q}|0\rangle$$
只有 $q = 0$ 项有贡献
$$\langle 0|C_{k}^{\dagger}C_{k}|0\rangle = v_{k}^{2} = \langle 0|C_{k}^{\dagger}C_{-k}|0\rangle$$

$$\vec{J}_{2}(\vec{r}) = -\frac{e^{2}}{mc}\vec{A}(\vec{r})\sum_{k}2v_{k}^{2} = -\frac{e^{2}}{mc}A(r)\sum_{k}\left(1-\frac{\epsilon_{k}}{\xi_{k}}\right)$$

$$= -\frac{me^{2}}{mc}\vec{A}(\vec{r}) = -\frac{c}{2\pi}\lambda_{c}^{-2}(0)A(r)$$
(满足伦敦方程)

证明

\hat{J}_1 也满足L方程

$$\overrightarrow{J}_{1}(\overrightarrow{r}) = \frac{e\hbar}{2m} \sum_{k,q} \left(2 \overrightarrow{k} + \overrightarrow{q}\right) e^{-i\overrightarrow{q} \cdot \overrightarrow{r}} \left\{ \left(u_{k+q}v_{k} - u_{k}v_{k+q}\right) \right.$$

$$\left(\alpha_{k+q}^{\dagger} \alpha_{-k}^{\dagger} + \alpha_{k} \alpha_{-k-q}\right) + \left(u_{k+q}u_{k} + v_{k+q}v_{k}\right) \left(\alpha_{k+q}^{\dagger} \alpha_{k} - \alpha_{-k}^{\dagger} \alpha_{-k-q}\right) \right\}$$

$$\left|0\rangle_{1} = |0\rangle_{0} + \sum_{l} ' |l\rangle_{0} \frac{_{0}\langle l|H_{1}|0\rangle}{E_{0} - E_{l}}$$

$$\dot{\bar{J}}_{1}(\vec{r}) = {}_{0} \langle 0|\hat{j}|0\rangle_{0} + \sum_{l} \langle \frac{0}{2} \langle 0|\vec{j}_{1}|l\rangle_{0} {}_{0} \langle l|H_{1}|0\rangle}{E_{0} - E_{1}} + \frac{0}{2} \langle 0|H_{1}|l\rangle_{0} \langle l|j_{1}|0\rangle_{0}}{E_{0} - E_{l}} \\
|l\rangle_{0} = a_{k+q}^{\dagger} a_{-k}^{\dagger}, \qquad E_{l} = \xi_{k+l} + \xi_{k}$$

$$\begin{cases} 0\langle l|H_{1}|0\rangle_{0} = -\frac{e\hbar}{mc} \left[\overrightarrow{k} \cdot \overrightarrow{A}(q)\right] (u_{k+q}v_{k} - u_{k}v_{k+q}) \\ 0\langle l|j_{1}|0\rangle_{0} = \frac{e\hbar}{mc} \left[\left(2k+q\right)e^{-i\overrightarrow{q}\cdot\overrightarrow{r}}\right] (u_{k+q}v_{k} - u_{k}v_{k+q}) \\ 0\langle 0|\overrightarrow{j}_{1}|l\rangle_{0} = \frac{e\hbar}{2m} \left[\left(2k+q\right)e^{-i\overrightarrow{q}\cdot\overrightarrow{r}}\right] (u_{k+q}v_{k} - u_{k}v_{k+q}) \\ 0\langle 0|H_{1}|l\rangle_{0} = -\frac{e\hbar}{mc} \left[\overrightarrow{k} \cdot \overrightarrow{A}(-\overrightarrow{q})\right] (u_{k+q}v_{k} - u_{k}v_{k+q}) \\ 0\langle 0|j_{1}|0\rangle_{0} = 0 \end{cases}$$